



AGENTIA PENTRU PROTECTIA MEDIULUI BRAȘOV

**RAPORT privind  
STAREA MEDIULUI ÎN JUDEȚUL  
BRAȘOV  
pentru luna martie 2021**

**1. Caracterizarea factorilor de mediu**

**1.1. Factor de mediu AER**

La nivelul A.P.M. Brașov, supravegherea calității aerului se realizează prin următoarele rețele:

a). Rețeaua manuală

În rețeaua manuală de monitorizare au fost prelevate probe pentru determinarea concentrației de amoniac, hidrogen sulfurat și analiza unor parametrii ai apelor de precipitații.

Metodele folosite pentru determinarea poluanților din rețeaua manuală prevăzute STAS 12574 / 1987 „Aer din zonele protejate. Condiții de calitate” sunt indicate tabelul următor.

Tabelul 1.1.1: Metode de determinare a poluanților în rețeaua manuală de monitorizare

Nr. crt.	Poluant	Metoda de determinare	Standard de determinare
1	Amoniac	spectrofometrie	STAS 10812-76
2	Hidrogen sulfurat	spectrofometrie	STAS 10814-76
3	Analiza unor parametrii ai apelor de precipitații	potențiometrie pentru pH	SR EN ISO 10523:2012
		volumetrie pentru alcalinitatea probelor cu $pH > 5$	Ghid Metodologic pentru Supravegherea Calității Precipitațiilor, elaborat de ICIM, 1995
		spectrofometrie pentru $\text{NH}_4^+$	
		volumetrie pentru $\text{Cl}^-$	

Interpretarea datelor se realizează comparativ cu prevederile STAS 12574 / 1987 „Aer din zonele protejate. Condiții de calitate”, care prevede o concentrație maxim admisă de  $0,3 \text{ mg/m}^3$  pentru valoarea medie de scurtă durată de amoniac și  $0,0150 \text{ mg/m}^3$  pentru valoarea medie de scurtă durată de hidrogen sulfurat.

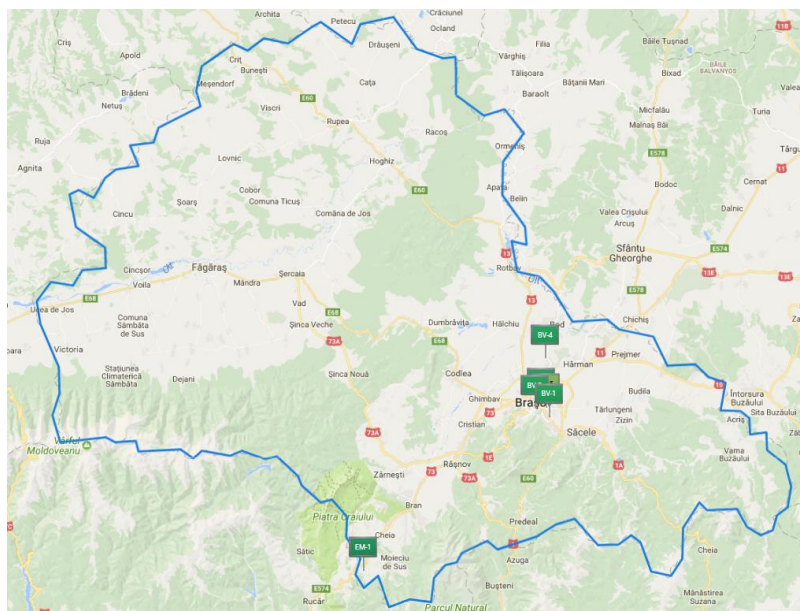
b). Rețeaua automată.

Calitatea aerului în aglomerarea Brașov este monitorizată prin măsurători continue în 6 stații automate amplasate, conform criteriilor indicate în legislație, în zone reprezentative pentru fiecare tip de stație:

- **Stație de trafic: stația BV1 – B-dul Calea București** – amplasată în zonă cu trafic intens;
- **Stație de trafic: stația BV3 – B-dul Gării** – amplasată în zonă cu trafic intens;

- Stație de fond urban: stația BV2 – str. Memorandului** – amplasată în zonă rezidențială, pentru a evidenția gradul de expunere a populației la nivelul de poluare urbană;
- Stație industrială: stația BV5 – B-dul Al. Vlahuță** – al cărei amplasament a rezultat din evaluarea preliminară a calității aerului pentru a evidenția influența emisiilor din zona industrială asupra nivelului de poluare din zona de sud a municipiului Brașov;
- Stație de fond suburban: stația BV4 – comuna Sânpetru** – având ca obiectiv evaluarea expunerii la ozon a populației și vegetației de la marginea aglomerării.
- Stație de tip EMEP: EM-1 – comuna Fundata** – monitorizează și evaluatează poluarea aerului în context transfrontier la lungă distanță.

În legea 104/2011 privind calitatea aerului înconjurător a fost stabilită aglomerarea Brașov în limitele administrative ale municipiului Brașov, aglomerarea reprezentând o zonă cu o populație al cărei număr depășește 250.000 locuitori fiind astfel justificată necesitatea evaluării și gestionării aerului înconjurător.



#### Amplasarea stațiilor de monitorizare în județul Brașov

Poluanții monitorizați sunt cei prevăzuți în legislația română, transpusă din cea europeană, valorile limită impuse prin Legea 104/2011 (actualizată) având scopul de a evita, preveni și reduce efectele nocive asupra sănătății umane și a mediului în întregul său.

În stațiile de monitorizare din aglomerarea Brașov, parte integrantă a rețelei naționale de monitorizare a calității aerului, se efectuează măsurări continue pentru: dioxid de sulf ( $\text{SO}_2$ ), oxizi de azot ( $\text{NO}$ ,  $\text{NO}_2$ ,  $\text{NOx}$ ), monoxid de carbon (CO), pulberi în suspensie (PM10) automat (prin nefelometrie ortogonală), ozon ( $\text{O}_3$ ) și precursori organici ai ozonului (benzen, toluen, etilbenzen, o-xilen, m-xilen și p-xilen). Corelarea nivelului concentrației poluanților cu sursele de poluare, se face pe baza datelor meteorologice obținute în stațiile prevăzute cu senzori meteorologici de direcție și viteză vânt, temperatură, presiune, umiditate, precipitații și intensitatea radiației solare.

Metodele de măsurare folosite pentru determinarea poluanților specifici sunt metodele de referință prevăzute în Legea 104/2011, sau metode echivalente pentru care se determină factorul de echivalentă. În tabelul 1.1.1 sunt indicate metodele de măsurare a poluanților în rețeaua națională de monitorizare a calității aerului:

Tabelul 1.1.2: Metode de referință pentru monitorizarea poluanților în rețeaua națională de monitorizare a calității aerului

Nr. crt.	Poluant	Metoda de determinare	Standard de referință
1	Dioxidul de sulf	metoda fluorescentei în ultraviolet	SR EN 14212 Calitatea aerului înconjurător – Metodă standard de măsurare a concentrației de dioxid de sulf prin fluorescentă în ultraviolet

#### Legendă:

Stația BV-1; adresa Brașov, Calea București / Str. Soarelui

Stația BV-2; adresa: Brașov, Str. Memorandului, fn

Stația BV-3; adresa: Brașov, B-dul Gării / Str. Lăcrămioarelor

Stația BV-4; adresa: Sânpetru, Str. Morii fn

Stația BV-5; adresa: Brașov , B-dul Al. Vlahuță/Parcul Mic

Stația EM-1; adresa: Fundata

Nr. crt.	Poluant	Metoda de determinare	Standard de referință
2	Oxizi de azot	metoda prin chemiluminiscență	SR EN 14211 Calitatea aerului înconjurător – Metodă standard de măsurare a concentrației de dioxid de azot și oxizi de azot prin chemiluminiscență
3	Monoxid de carbon	metoda spectrometrică în infraroșu nedispersiv	SR EN 14626 Calitatea aerului înconjurător – Metodă standard de măsurare a concentrației monoxid de carbon prin spectroscopie în infraroșu nedispersiv
4	Ozon	metoda fotometrică în ultraviolet	SR EN 14625 Calitatea aerului înconjurător – Metodă standard de măsurare a concentrației de ozon prin fotometrie în ultraviolet
5	Pulberi în suspensie PM 10 și PM2,5	metoda gravimetrică	SR EN 12341 Calitatea aerului înconjurător – Metodă standardizată de măsurare gravimetrică pentru determinarea fracției masice de PM10 sau PM 2,5 a particulelor în suspensie
6	Benzen	gaz chromatografie	SR EN 14662 partea 3 Calitatea aerului înconjurător – Metodă standard de măsurare a concentrației de benzen

Obiectivele de calitate a aerului ambiental sunt impuse prin Legea 104/2011 și au scopul de a evita, preveni și reduce efectele nocive asupra sănătății umane și a mediului.

Tabelul 1.1.3. Obiective de calitate a aerului ambiental

Nr. Crt.	Poluant	Obiective de calitate a aerului	
1	Dioxid de sulf	Prag de alertă	<b>500 µg/m<sup>3</sup></b> – măsurat timp de 3 ore consecutive în puncte reprezentative pentru calitatea aerului, pe o suprafață de cel puțin 100 km <sup>2</sup> sau pentru o întreagă zonă sau aglomerare
		Valori limită	<b>350 µg/m<sup>3</sup></b> – valoarea limită orară pentru protecția sănătății umane <b>125 µg/m<sup>3</sup></b> – valoarea limită zilnică pentru protecția sănătății umane <b>20 µg/m<sup>3</sup></b> – valoarea limită pentru protecția ecosistemelor (an calendaristic și iarna 1 martie – 31 martie)
2	Oxizi de azot	Prag de alertă	<b>400 µg/m<sup>3</sup></b> – măsurat timp de 3 ore consecutive în puncte reprezentative pentru calitatea aerului, pe o suprafață de cel puțin 100 km <sup>2</sup> sau pentru o întreagă zonă sau aglomerare
		Valori limită	<b>200 µg/m<sup>3</sup> NO<sub>2</sub></b> – valoarea limită orară pentru protecția sănătății umane <b>40 µg/m<sup>3</sup> NO<sub>2</sub></b> – valoarea limită anuală pentru protecția sănătății umane <b>30 µg/m<sup>3</sup> NO<sub>x</sub></b> – valoarea limită anuală pentru protecția vegetației
3	Ozon	Prag de alertă	<b>240 µg/m<sup>3</sup></b> – media pe 1 oră
		Valori tintă	<b>120 µg/m<sup>3</sup></b> – valoare tintă pentru protecția sănătății umane <b>18.000 µg/m<sup>3</sup> x h</b> – valoare tintă pentru protecția vegetației
		Obiectiv pe termen lung	<b>120 µg/m<sup>3</sup></b> – obiectivul pe termen lung pentru protecția sănătății umane <b>6000 µg/m<sup>3</sup> x h</b> – obiectivul pe termen lung pentru protecția vegetației
4	PM 10	Valori limită	<b>50 µg/m<sup>3</sup> PM 10</b> – valoarea limită zilnică pentru protecția sănătății umane <b>40 µg/m<sup>3</sup> PM10</b> – valoarea limită anuală pentru protecția sănătății umane
5	PM 2,5	Valoare limită	<b>25 µg/m<sup>3</sup></b> – valoare limită pentru media anuală (1 ianuarie 2015)
6	Monoxid de carbon	Valoare limită	<b>10 mg/m<sup>3</sup></b> – valoare limită pentru protecția sănătății umane
7	Benzen	Valoare limită	<b>5 µg/m<sup>3</sup></b> – valoarea limită anuală pentru protecția sănătății umane

### 1.1.1. Rețeaua manuală

#### 1.1.1.1. Amoniacul

Amoniacul este un gaz alcalin cu miros întepător, mai ușor decât aerul, ușor solubil în apă (482 g/L la temperatura de 25°C), inflamabil (poate forma amestecuri inflamabile / explosive cu aerul în concentrații cuprinse în intervalul 16 - 27% NH<sub>3</sub> poate exploda când se aprinde), toxic la inhalare, corosiv și periculos pentru mediul acvatic.

În zonele urbane este emis în principal din trafic, dar și din alte surse difuze, cum ar fi depozitele de deșeuri urbane sau sistemele de canalizare, fiind un produs de degradare anaerobă a materiei organice care conține azot. De asemenea, amoniacul poate proveni din activități agricole (creșterea animalelor, fertilizarea solului) și din surse industriale (combinatii chimice).

Amoniacul este, alături de NO<sub>2</sub> și SO<sub>2</sub>, un *un precursor al pulberilor în suspensie – fracția PM2,5*, determinând formarea azotatului de amoniu și sulfatului de amoniu (componentă majoră a PM2,5) în prezența NO<sub>2</sub> și SO<sub>2</sub> (oxidat în atmosferă pentru a forma acid azotic și respectiv acid sulfuric). Reacțiile chimice din atmosferă (procesele de transformare și de echilibru) în care sunt implicați NO<sub>2</sub>, SO<sub>2</sub> și NH<sub>3</sub> cu formarea de pulberi în suspensie (PM2,5) secundare sunt influențate de condițiile meteo și de variabilitatea prezenței precursorilor în atmosferă.

*Dioxidul de sulf* (poluant primar) se poate transforma în sulfat și ulterior în particule prin mai multe reacții chimice în atmosferă, reacția de oxidare cu radicalul hidroxil fiind mecanismul dominant. În faza gazoasă dioxidul de sulf reacționează cu radicalii hidroxil din atmosferă și formează sulfitul acid, care, reacționează rapid cu oxigenul și vaporii de apă și formează acidul sulfuric gazos (H<sub>2</sub>SO<sub>4</sub>). Acidul sulfuric gazos, care are presiune de vapori scăzută în prezența vaporilor de apă formează picături de acid sulfuric sau condensează pe particule existente. Aceste particule acide sunt neutralizate în prezența amoniacului cu formarea de sulfat sau sulfat acid de amoniu.

*Oxidul de azot* (poluant primar) se transformă în *dioxid de azot* (poluant secundar) prin oxidare cu ozon troposferic. Dioxidul de azot poate suferi în atmosferă mai multe transformări: se poate reduce la monoxid de azot în prezența radiației ultraviolete; se poate transforma în specii gazoase sau radicali de scurtă durată (de exemplu, O<sub>3</sub>, N<sub>0</sub><sub>3</sub><sup>-</sup>, N<sub>2</sub>O<sub>5</sub>); poate forma azotați organici, cum ar fi azotatul de peroziacetil (PAN); sau se poate oxida cu radicali hidroxil pentru a forma acidul azotic. Toate aceste produse sunt gaze invizibile, care nu afectează concentrațiile sau vizibilitatea particulelor. În prezența unei cantități suficiente de amoniac acidul azotic format din oxidarea NO<sub>2</sub> cu radicali hidroxil formează azotatul de amoniu, al cărui echilibru cu amoniacul și acidul azotic gazos este puternic influențat de temperatură și umiditate relativă. Azotatul de amoniu poate disocia și forma acidul azotic și amoniacul, procesul fiind favorizat de temperatura ridicată și umiditatea relativă scăzută.

*Prin urmare, pot exista fluctuații importante diurne și sezoniere ale concentrației de amoniac în aer.*

Creșterea poluării cu azot în aer – NH<sub>3</sub> (amoniac și ioni de amoniu) și NO<sub>x</sub> (dioxid de azot și monoxid de azot), care se depun pe sol sunt una dintre *amenințările majore ale biodiversității* din ultimii ani. Azotul este un nutrient limitator pentru creșterea plantelor în multe ecosisteme. Multe specii de plante din unele habitate, fiind adaptate condițiilor sărăce de nutrienți, se pot dezvolta pe soluri cu niveluri scăzute de azot.

Pentru determinarea amoniacului, probele au fost prelevate în soluție absorbantă dintr-un punct de prelevare, amplasat în municipiul Brașov în zonă rezidențială (Terasa Laboratorului APM Brașov). Probele de scurtă durată (30 minute) prelevate zilnic, de luni până vineri în zilele fără precipitații, au fost prelucrate în laborator pentru a se determina concentrația de amoniac prin spectrofometrie UV/VIS.

Metoda folosită pentru prelevarea și măsurarea concentrației de NH<sub>3</sub> din aerul ambiental este cea prezentată în STAS 10812/76 "Puritatea aerului. Determinarea amoniacului", elaborată pentru determinarea cantitativă a NH<sub>3</sub> din aerul ambiental în domeniul de concentrații 0,4....2µg/mL respectiv în domeniul de concentrații 0,267 mg/m<sup>3</sup>....1,333 mg/m<sup>3</sup> pentru probele de scurtă durată, la un debit de prelevare de 2,5L/min.

În luna **martie** 2021 nu au fost prelevate și măsurate probe de amoniac.

### 1.1.1.2. Hidrogenul sulfurat

Hidrogenul sulfurat este un gaz incolor, inflamabil, cu un miros caracteristic de ouă stricate, solubil în apă (solubilitatea în apă la 20°C este de 1 g în 242 mL). Hidrogenul sulfurat este, de asemenea, solubil în alcool, eter, glicerol, benzină, kerosen, tăcări și disulfură de carbon.

Hidrogenul sulfurat poate proveni din surse naturale și din activități antropice. Sursele naturale includ degradarea anaerobă (reducerea bacteriană anaerobă) a sulfatilor și a compușilor organici cu conținut de sulf. Hidrogenul sulfurat se găsește în mod natural în petrolul brut, gazele naturale, gazele vulcanice și izvoarele termale, precum și în apele subterane. Este emis din apele sătătoare (mlaștini) sau ape poluate și din gunoiul de grajd sau cărbune.

Hidrogenul sulfurat poate fi emis printr-o varietate de surse antropice: purificarea gazelor naturale și de rafinare (unde este recuperat ca produs secundar), de la producerea celulozei și hârtiei prin procedeul kraft, producere sulfurii de carbon, fabricarea acidului sulfuric și a sulfurilor anorganice (unde se utilizează ca intermediar), fabricarea vopselelor, producerea de sulf, fabricarea de substanțele chimice care conțin sulf, fabricile de prelucrare a produselor alimentare și tăbăcării.

În zonele urbane poluarea aerului cu hidrogen sulfurat nu este o problemă răspândită, fiind în general localizată în vecinătatea unei surse de emisie, cum ar fi fabricile de celuloză și hârtie prin procedeu kraft, iazuri industriale de eliminare a deșeurilor, depozitele de deșeuri, stații de epurare, tăbăcării și rafinării.

Sistemul respirator este principala cale de expunere a omului la hidrogen sulfurat, atât la locul de muncă, cât și în aerul înconjurător. În forma sa acută, intoxicația cu hidrogen sulfurat este în principal rezultatul acțiunii asupra sistemului nervos. La concentrații de 15 mg/m<sup>3</sup> și mai mari, hidrogenul sulfurat provoacă iritarea conjunctivală, afectează nervii senzoriali ai conjunctivei (membrană cu rol de protecție a globului ocular) și la concentrații mai mari (peste 225 mg/m<sup>3</sup>) apare iritarea respiratorie, existând și riscul de edem pulmonar.(World Health Organization Regional Office for Europe, Copenhagen, Air Quality Guidelines).

Pentru determinarea hidrogenului sulfurat, probele au fost prelevate în soluție absorbantă dintr-un punct de prelevare, amplasat în municipiul Brașov în zonă rezidențială (Terasa Laboratorului APM Brașov). Probele de scurtă durată (30 minute) prelevate săptămânal, în zilele fără precipitații, au fost prelucrate în laborator pentru a se determina concentrația de hidrogen sulfurat prin spectrofotometrie UV/VIS.

Metoda folosită pentru prelevarea și măsurarea concentrației de H<sub>2</sub>S din aerul ambiental este cea prezentată în STAS 10814/76 "Puritatea aerului. Determinarea hidrogenului sulfurat", elaborată pentru determinarea cantitativă a H<sub>2</sub>S din aerul ambiental în domeniul de concentrații 0,02....2 mg/m<sup>3</sup> pentru probele de surtă durată (la un debit de prelevare de 1 L/min).

În luna **martie** 2021 nu au fost prelevate și măsurate probe de hidrogen sulfurat.

### 1.1.1.3. Analiza unor parametrii ai apelor de precipitații

Parametrii fizico-chimici analizați din probele de precipitații prelevate în luna **martie** 2021 dintr-un punct de prelevare amplasat în municipiul Brașov în zonă rezidențială (Terasa Laboratorului APM Brașov) includ pH-ul, alcalinitatea pentru probele cu pH>5, amoniu (NH<sub>4</sub><sup>+</sup>) și cloră (Cl<sup>-</sup>).

Perioada pentru prelevarea probelor a fost zilnică în zilele lucrătoare și cel mult la un interval de 4 zile, în zilele nelucrătoare. Sistemul de prelevare folosit a fost manual, de tip pâlnie/vas colector din sticlă.

Pentru analiza parametrilor probele de precipitații prelevate au fost prelucrate în laborator pentru a se determina pH-ul prin potențiometrie, alcalinitatea pentru probele cu pH>5 prin volumetrie, concentrația ionului amoniu (NH<sub>4</sub><sup>+</sup>) prin spectrofotometrie UV/VIS și concentrația ionului clorură (Cl<sup>-</sup>) prin volumetrie.

Metodele folosite pentru prelevarea și măsurarea pH, alcalinitate, NH<sub>4</sub><sup>+</sup> și Cl<sup>-</sup> din probele de precipitații sunt cele prezentate în Manual for the GAW precipitation programme. Guidelines, Data Quality Objectives and Standard Operating Procedures, respectiv în SR EN ISO 10523:2012 și Ghidul Metodologic pentru Supravegherea Calității Precipitațiilor, elaborat de ICIM, 1995.

Rezultatele obținute din analiza parametrilor pH, alcalinitate, NH<sub>4</sub><sup>+</sup> și Cl<sup>-</sup> din probele de precipitații din municipiul Brașov în luna **martie** 2021 sunt prezentate în tabelul de mai jos.

Tabel 1.1.1.3.1. Rezultatele obținute din analiza parametrilor din probele de precipitații din luna martie

Nr. crt.	Perioada de prelevare	Ora prelevării	Parametru determinat	Metoda de încercare	Volum de precipitații prelevat, (L)	Rezultatul măsurării (u.m.)
1	28.02.2021 - 01.03.2021	9 <sup>00</sup>	pH	potențiometrie	0,060	5,86 upH
			[NH <sub>4</sub> <sup>+</sup> ]	spectrofotometrie UV/VIS		102 µe/L
2	07.03.2021 - 08.03.2021	9 <sup>00</sup>	pH	potențiometrie	0,130	5,91 upH
			[H <sup>+</sup> ]	volumetrie		336 µe/L
			[NH <sub>4</sub> <sup>+</sup> ]	spectrofotometrie UV/VIS		78 µe/L
			[Cl <sup>-</sup> ]	volumetrie		56 µe/L
3	15.03.2021 - 16.03.2021	9 <sup>00</sup>	pH	potențiometrie	0,610	5,75 upH
			[H <sup>+</sup> ]	volumetrie		208 µe/L
			[NH <sub>4</sub> <sup>+</sup> ]	spectrofotometrie UV/VIS		28 µe/L
			[Cl <sup>-</sup> ]	volumetrie		40 µe/L
4	16.03.2021 - 17.03.2021	9 <sup>00</sup>	pH	potențiometrie	1,400	5,53 upH
			[H <sup>+</sup> ]	volumetrie		392 µe/L
			[NH <sub>4</sub> <sup>+</sup> ]	spectrofotometrie UV/VIS		37 µe/L
			[Cl <sup>-</sup> ]	volumetrie		40 µe/L
5	17.03.2021 - 18.03.2021	9 <sup>00</sup>	pH	potențiometrie	0,740	5,38 upH
			[H <sup>+</sup> ]	volumetrie		336 µe/L
			[NH <sub>4</sub> <sup>+</sup> ]	spectrofotometrie UV/VIS		40 µe/L
			[Cl <sup>-</sup> ]	volumetrie		40 µe/L
6	18.03.2021 - 19.03.2021	9 <sup>00</sup>	pH	potențiometrie	0,080	5,86 upH
			[NH <sub>4</sub> <sup>+</sup> ]	spectrofotometrie UV/VIS		44 µe/L
7	19.03.2021 - 22.03.2021	9 <sup>00</sup>	pH	potențiometrie	0,062	3,54 upH
			[NH <sub>4</sub> <sup>+</sup> ]	spectrofotometrie UV/VIS		92 µe/L
8	22.03.2021 - 23.03.2021	9 <sup>00</sup>	pH	potențiometrie	0,100	3,76 upH
			[NH <sub>4</sub> <sup>+</sup> ]	spectrofotometrie UV/VIS		52 µe/L
9	23.03.2021 - 24.03.2021	9 <sup>00</sup>	pH	potențiometrie	0,086	5,64 upH
			[NH <sub>4</sub> <sup>+</sup> ]	spectrofotometrie UV/VIS		49 µe/L

În mod obișnuit pH-ul precipitațiilor este ușor acid datorită prezenței acizilor slabii, pH-ul precipitațiilor fiind considerat neutru la valori cuprinse în intervalul de pH:5.....7upH. Astfel se poate afirma că probele de precipitații prelevate în luna martie au avut pH neutru.

### 1.1.2. Rețeaua automată de monitorizare a calității aerului în aglomerarea Brașov

Datele transmise de analizoare și senzorii meteo au fost achiziționate continuu ca medii pe minut în cele cinci stații de monitorizare. Aceste valori singulare reprezintă înregistrările ale concentrațiilor poluanților, care nu oferă informații despre apariția poluanților, variațiile din timpul anului sau despre intensitatea sau durata unui episod cu concentrații mari sau mici de poluant.

Pentru a interpreta și compara datele achiziționate, valorile medii pe minut au fost procesate în medii orare. Media orară, influențată de vârfurile atipice de concentrație de scurtă durată permite identificarea unor cicluri anuale în funcție de ciclul de funcționare a surselor de emisie și variația condițiilor meteorologice de dispersie. Pentru a atenua variațiile întâmplătoare și a identifica variațiile în timp valorile orare au fost mediate pe diferite perioade: medii mobile pe 8 ore, medii zilnice, sau medii lunare. Pentru anumiți poluanți, cum ar fi poluanții proveniți din trafic și ozonul, care prezintă o variație zilnică sistematică, s-a calculat media fiecărei ore din zi din mediile orare disponibile pentru luna **martie 2021** și s-a prezentat ciclul zilnic.

Rezultatele obținute pentru poluanții normați sunt prezentate în paragrafele următoare, ca medii lunare, zilnice, maxime orare, zilnice și lunare sau maxime zilnice ale mediei mobile pe 8 ore și sunt comparate cu obiectivele de calitate indicate în tabelul 1.1.2.

Setul de date validate disponibile conține un număr de medii orare sau zilnice diferit pentru parametrii monitorizați. *Perioadele cu date lipsă* sunt inerente în orice program de măsurare pentru monitorizare continuă, oricât de bine ar fi conceput și operat. Acestea au fost generate de programul de calibrare și menenanță planificată, variații sau perturbări în funcționarea echipamentelor din stațiile de monitorizare, dar și de funcționări defectuoase ale echipamentelor de măsurare și prelevare.

### 1.1.2.1. Dioxidul de sulf

Dioxidul de sulf este un gaz incolor, amăru, neinflamabil, cu miros pătrunzător care irită ochii și căile respiratorii. Poate să provină din surse naturale (erupțiile vulcanice, fitoplanctonul marin, fermentația bacteriană în zonele mlăștinoase, oxidarea gazului cu conținut de sulf rezultat din descompunerea biomasei) și surse antropice (sistemele de încălzire a populației care nu utilizează gaz metan, centralele termoelectrice, procesele industriale – siderurgie, rafinărie, producerea acidului sulfuric, industria celulozei și hârtiei – și din emisiile provenite de la motoarele diesel în mai mică proporție).

În funcție de concentrație și perioada de expunere dioxidul de sulf are diferite efecte asupra sănătății umane. Expunerea la o concentrație mare de dioxid de sulf, pe o perioadă scurtă de timp, poate provoca afecțiuni severe ale căilor respiratorii, în special persoanelor cu astm, copiilor, vîrstnicilor și persoanelor cu boli cronice ale căilor respiratorii. Expunerea la o concentrație redusă de dioxid de sulf, pe termen lung poate avea ca efect infectii ale tractului respirator.

Dioxidul de sulf contribuie la acidificarea precipitațiilor, având efecte toxice asupra solului și vegetației, în special asupra pinului, legumelor, ghindei roșii și negre, frasinului alb, lucernei și murei. Creșterea concentrației de dioxid de sulf accelerează coroziunea metalelor și erodarea monumentelor.

Rezultatele monitorizării dioxidului de sulf în județul Brașov în luna martie sunt prezentate în tabelul 1.1.2.1.1:

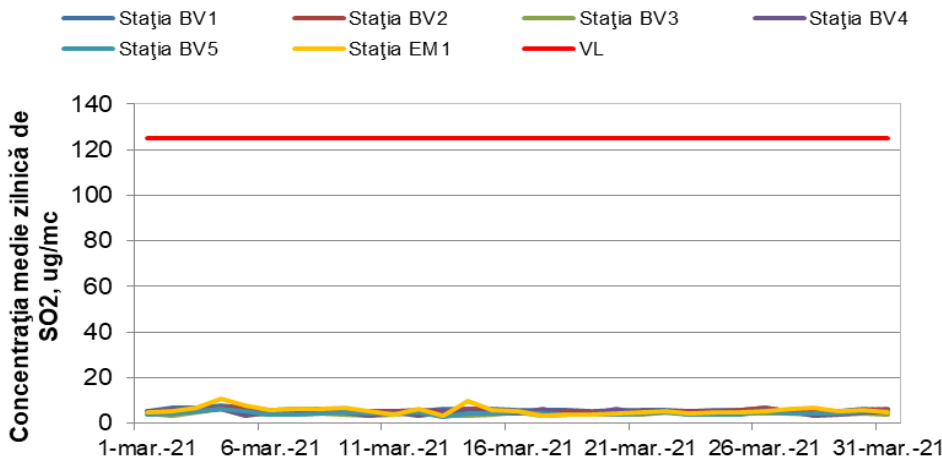
Tabelul 1.1.2.1.1. Rezultatele monitorizării dioxidului de sulf

Nr. crt.	Stația de monitorizare	Valoarea medie lunară, $\mu\text{g}/\text{m}^3$	Valoarea maximă a mediei orare, $\mu\text{g}/\text{m}^3$	Valoarea maximă a mediei zilnice, $\mu\text{g}/\text{m}^3$
1	Stația de trafic BV1 – Calea București	5,9	13,4	8,0
2	Stația de traffic BV3 – B-dul Gării	4,0	9,4	6,1
3	Stația fond urban BV2 – Memorandului	5,6	11,2	7,1
4	Stația de fond suburban BV4 – Sânpetru	4,7	10,0	6,4
5	Stația de fond industrial BV5 – B-dul Al. Vlahuță	4,4	12,3	6,5
6	Stația EM1 – Fundata	5,6	29,2	10,6

Conform datelor prezentate în tabelul 1.1.2.1.1 la stațiile de monitorizare:

- valorile medii orare înregistrate sunt mai mici decât valoarea limită orară pentru protecția sănătății umane de  $350 \mu\text{g}/\text{m}^3$  și decât pragul de alertă pentru  $\text{SO}_2$  de  $500 \mu\text{g}/\text{m}^3$ ;
- valorile medii zilnice înregistrate sunt mai mici decât valoarea limită zilnică pentru protecția sănătății umane de  $125 \mu\text{g}/\text{m}^3$ ;

Evoluția mediilor zilnice de  $\text{SO}_2$  înregistrate în luna martie la stațiile de monitorizare din județul Brașov este prezentată în figura 1.1.2.1.1.

Figura 1.1.2.1.1. Evoluția mediilor zilnice de SO<sub>2</sub> în luna martie

Concentrațiile medii zilnice de SO<sub>2</sub> determinate sunt scăzute, mult mai mici decât valoarea limită zilnică pentru protecția umană de 125 µg/m<sup>3</sup>, variind într-un interval îngust.

### 1.1.2.2. Oxizii de azot

Oxizii de azot sunt gaze foarte reactive, care conțin azot și oxigen în cantități variabile. În stații se monitorizează monoxidul de azot (NO), gaz incolor și inodor, dioxidul de azot (NO<sub>2</sub>), gaz de culoare brun-roșcat cu miros puternic înecăcios și NOx.

Oxizii de azot se formează la temperaturi înalte în procesul de ardere al combustibililor, cel mai adesea rezultând din traficul rutier și activitățile de producere a energiei electrice și termice din combustibili fosili.

În funcție de tipul lor, concentrația și perioada de expunere oxizii de azot au diferite efecte asupra sănătății umane. Gradul de toxicitate al dioxidului de azot este de 4 ori mai mare decât cel al monoxidului de azot. Prin expunere la concentrații reduse de oxizi de azot este afectat țesutul pulmonar, iar la concentrații ridicate expunerea este fatală. Expunerea pe termen lung la o concentrație redusă produce dificultăți în respirație, iritații ale căilor respiratorii, disfuncții ale plămânilor și emfizem pulmonar prin distrugerea țesuturilor pulmonare. Copiii sunt cei mai afectați de expunerea la oxizii de azot.

Expunerea vegetației la oxizii de azot produce vătămarea plantelor, prin albirea sau moartea țesuturilor vegetale și reducerea ritmului de creștere a acestora.

Oxizii de azot sunt responsabili pentru formarea smogului, a ploilor acide, deteriorarea calității apei, acumularea nitrărilor la nivelul solului, intensificarea efectului de seră și reducerea vizibilității în zonele urbane. De asemenea, provoacă deteriorarea țesăturilor, erodarea monumentelor, corodarea metalelor și decolorarea vopselelor.

Rezultatele monitorizării dioxidului de azot în județul Brașov în luna martie sunt prezentate în tabelul 1.1.2.2.1.:

Tabelul 1.1.2.2.1. Rezultatele monitorizării dioxidului de azot

Nr. crt.	Stația de monitorizare	Valoarea medie lună, µg/m <sup>3</sup>	Valoarea minimă a mediei orare, µg/m <sup>3</sup>	Valoarea maximă a mediei orare, µg/m <sup>3</sup>
1	Stația de trafic BV1 – Calea București	27,8	2,3	90,9
2	Stația de traffic BV3 – B-dul Gării	33,8	6,2	83,4
3	Stația de fond urban BV2 – Memorandului	18,6	0,6	66,1
4	Stația de fond suburban BV4 – Sânpetru	9,7	LD	65,8
5	Stația de fond industrial BV5 – B-dul Al. Vlahuță	29,9	1,4	109,2
6	Stația EM1 – Fundata	3,1	LD	15,7

Conform datelor prezentate în tabelul 1.1.2.2.1. la stațiile de monitorizare amplasate în județul Brașov au fost respectate obiectivele de calitate pentru dioxidul de azot, valorile medii orare înregistrate fiind mai mici decât valoarea limită orară pentru protecția sănătății umane de  $200\mu\text{g}/\text{m}^3$  și mai mici decât pragul de alertă de  $400\mu\text{g}/\text{m}^3$ .

Evoluția mediilor orare de  $\text{NO}_2$  înregistrate în luna martie la stațiile de monitorizare este prezentată în figura 1.1.2.2.1.

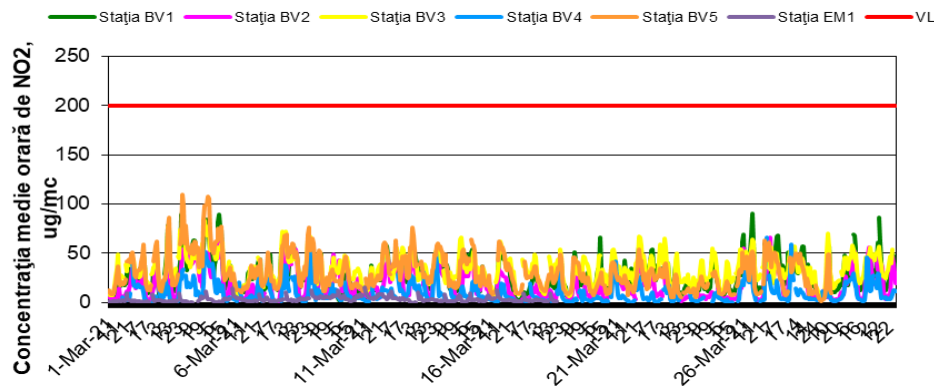


Figura 1.1.2.2.1. Evoluția mediilor orare de  $\text{NO}_2$  în luna martie

În graficul anterior se observă că cele mai mari concentrații au fost măsurate la stațiile amplasate în zone cu trafic intens.

Ciclul zilnic al  $\text{NO}_2$  și  $\text{NO}$  în baza datelor înregistrate și validate în luna martie de la stațiile de monitorizare din Brașov este prezentat în figura 1.1.2.2.2.

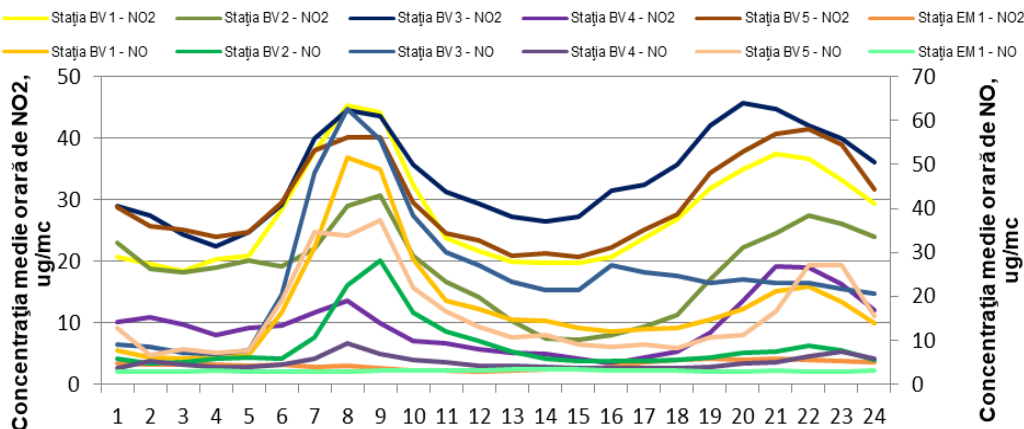


Figura 1.1.2.2.2. Ciclul zilnic al  $\text{NO}_2$  și  $\text{NO}$

Figura 1.1.2.2.2. prezintă evoluția concentrației de oxizi de azot în timpul zilei în funcție de variația fluxului traficului rutier și a condițiilor de dispersie. Valorile concentrației de  $\text{NO}$  prezintă un maxim în timpul dimineții, în intervalul orar în care traficul este mai intens și scade pe parcursul restului zilei. Se observă un pic similar în timpul serii datorat emisiilor echivalente și stabilității atmosferice care împiedică dispersia poluanților.

În urma proceselor de ardere a combustibililor se formează un amestec de  $\text{NO}$  și  $\text{NO}_2$ , în care aproximativ 90% este  $\text{NO}$ . Deși este emis direct de surse într-o proporție mică,  $\text{NO}_2$  se formează în atmosferă prin oxidarea  $\text{NO}$  produs la arderea combustibililor fosili cu  $\text{O}_3$  troposferic prezent în atmosferă. În aceste condiții în zonele urbane cu trafic intens concentrația oxizilor de azot este mai mare fiind favorizată prezența  $\text{NO}$ . În zona rurală, la Sânpetru și Fundata valorile concentrației de  $\text{NO}$  și  $\text{NO}_2$  sunt mai mici, stațiile fiind amplasate la distanță de surse care emit oxizi de azot. La Sânpetru se arată o apariție unui pic mai mare, ca urmare a intensificării emisiilor provenite din diverse procese de ardere.

În figura 1.1.2.2.3. este prezentat ciclul zilnic al oxizilor de azot pentru zilele lucrătoare din săptămână și pentru zilele de weekend în municipiul Brașov în baza datelor validate achiziționate la stațiile de monitorizare în luna martie.

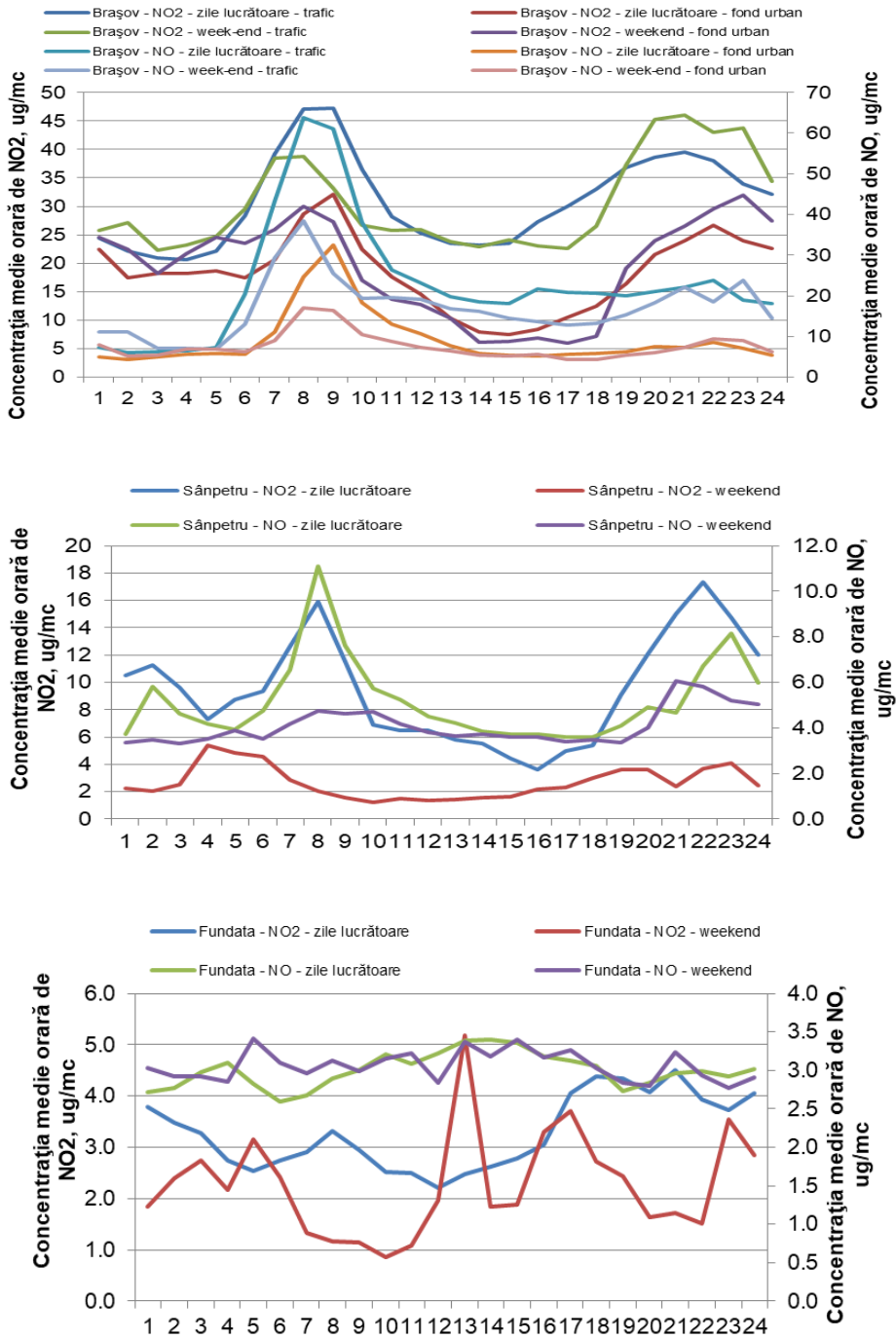


Figura 1.1.2.2.3. Ciclul zilnic al oxizilor de azot în timpul săptămânii

În figura 1.1.2.2.3. se poate observa variația diurnă a concentrației de NO în funcție de variația fluxului de trafic și a condițiilor de dispersie. Datele indică un pic în intervalul 7 și 11 am, corespunzător orelor cu trafic intens în zilele lucrătoare din săptămână și unei stabilități atmosferice ridicate. Ulterior se observă o variație similară în timpul serii datorată emisiilor echivalente și stabilității atmosferice care împiedică dispersia poluanților. Concentrația de NO la stația de fond urban și în week-end este mai scăzută în comparație cu stațiile de trafic și zilele lucrătoare, în principal, datorită traficului redus, iar perioadele în care apar picuri coincid cu intervalul în care traficul este mai intens pentru activitățile de weekend.

Ciclul zilnic al NO<sub>2</sub> evidențiază un nivel de fond de NO<sub>2</sub> prezent în atmosferă și o creștere a concentrației pe timpul zilei, ca urmare a reacțiilor fotochimice și a prezenței NO în concentrații mai mari, în special în zilele lucrătoare. În week-end concentrația de NO<sub>2</sub> este mai mică, în principal datorită traficului rutier mai redus.

Concentrațiile cele mai mari de NO și NO<sub>2</sub> au fost înregistrate în zonele și în perioadele cu traficul cel mai intens.

La Sânpetru și Fundata valorile concentrației de NO și NO<sub>2</sub> sunt mai mici, stațiile fiind amplasate la distanță de surse care emit oxizi de azot. La Sânpetru se observă apariția unui pic mai mare, ca urmare a intensificării emisiilor provenite din diverse procese de ardere.

Ciclul zilnic al NO și CO în baza datelor înregistrate în luna martie la stațiile de monitorizare din Brașov, Sânpetru și Fundata este prezentat în figura 1.1.2.2.4.

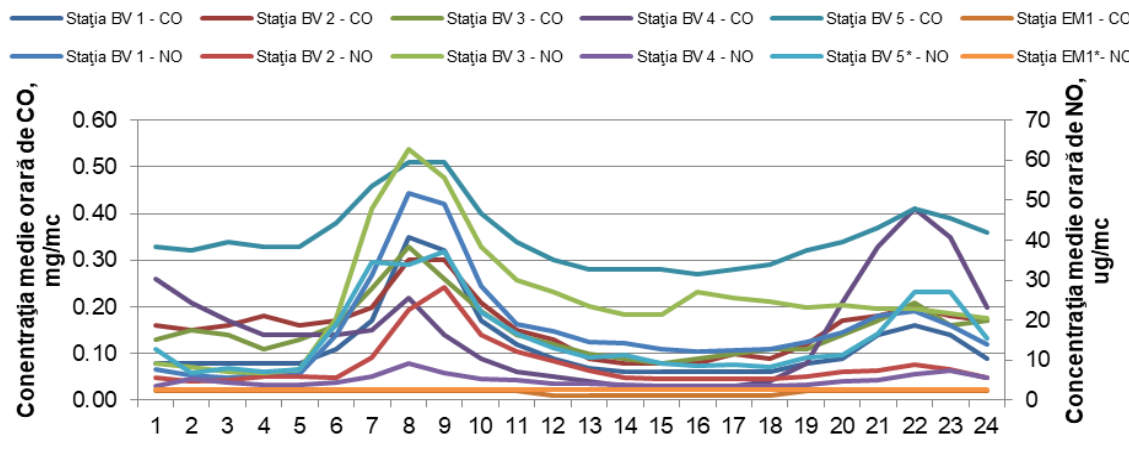
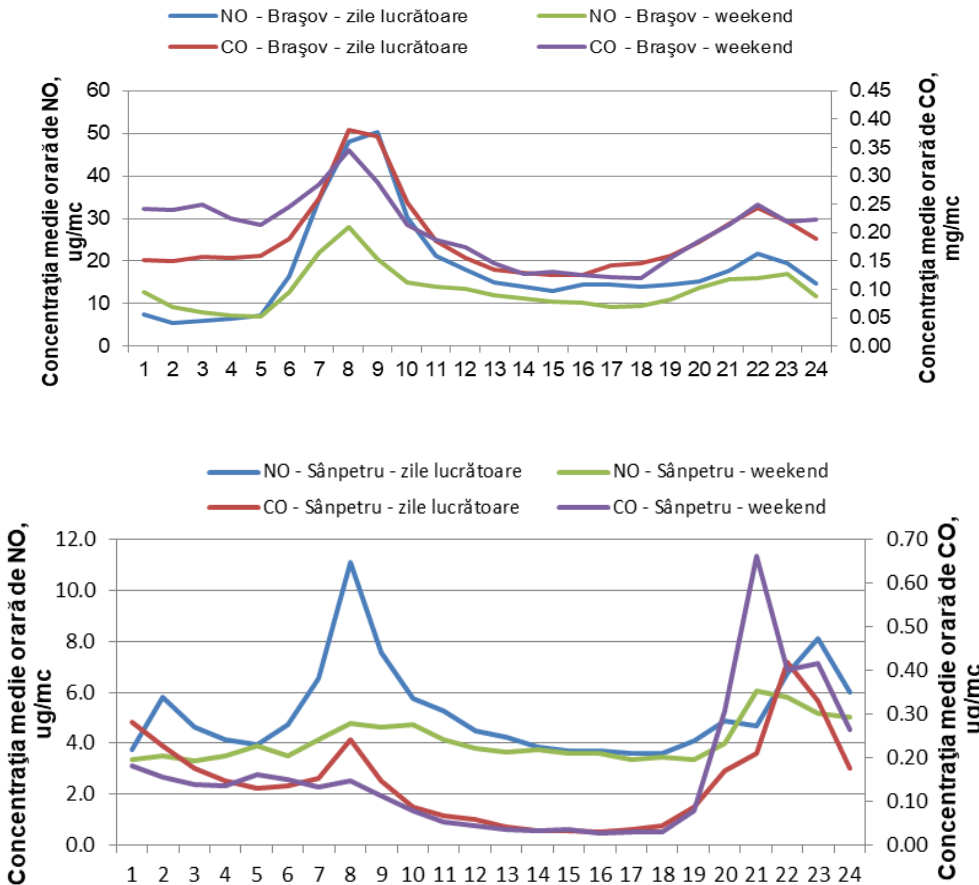


Figura 1.1.2.2.4. Ciclul zilnic al NO și CO

Evoluția mediilor orare prezentate în figura 1.1.2.2.4. confirmă faptul că traficul rutier este o sursă importantă pentru prezența NO și CO în aerul ambiental din Brașov. Corelând variația concentrației celor doi poluanți specifici traficului rutier se observă că valorile concentrațiilor medii orare de NO și CO înregistrate în Brașov au același trend, cresc simultan pe același interval orar și prezintă un maxim în intervalul orar în care traficul este mai intens. Concentrația de NO și CO la Sânpetru și Fundata este mai mică, datorită traficului redus din zona stației.

În figura 1.1.2.2.5. este prezentat ciclul zilnic al CO și NO pentru zilele lucrătoare din săptămână și pentru zilele de weekend în baza datelor achiziționate la stațiile de monitorizare din Brașov în luna martie.



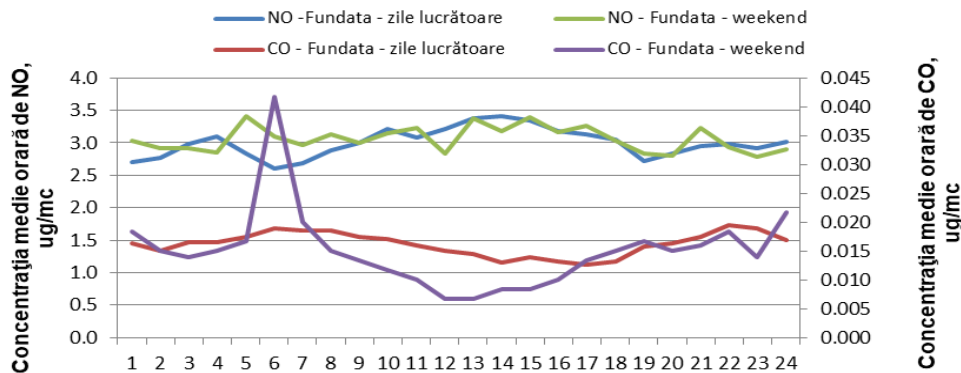


Figura 1.1.2.2.5. Ciclul zilnic al NO și CO în timpul săptămânii

În figura 1.1.2.2.5. se poate observa variația diurnă a concentrației de NO și CO în funcție de variația fluxului de trafic și a condițiilor de dispersie. În Brașov datele indică apariția unui pic de concentrație simultan pentru NO și CO dimineață, în perioada cu trafic intens și stabilitate atmosferică ridicată, ulterior o scădere a concentrației pe măsură ce intensitatea traficului rutier scade și apariția unui pic similar seara. În week-end concentrația celor doi poluanți este mai mică, în principal datorită traficului rutier mai redus, creșterile fiind cauzate de intensificarea emisiilor pe centura Brașovului.

La Sânpetru valorile concentrației de NO și CO sunt mai mici decât în Brașov, stația fiind amplasată la distanță de surse care emit NO și CO, seară se observă apariția unui pic mai mare, ca urmare a intensificării emisiilor provenite din diverse procese de ardere.

La Fundata valorile concentrației de NO și CO sunt mici, stația fiind amplasată la distanță de surse care emit NO și CO.

### 1.1.2.3. Ozonul

Ozonul, gaz oxidant, foarte reactiv, cu miros încăios este concentrat în stratosferă și asigură protecția împotriva radiației UV dăunătoare vieții. În urma unor reacții fotochimice între oxizii de azot și compușii organici volatili se formează la nivelul solului ozonul troposferic. Alături de pulberile în suspensie este o componentă a "smogului fotochimic" în timpul verii.

Efectele ozonului asupra sănătății umane sunt diferite în funcție de concentrația ozonului troposferic prezent în aerul ambiental. Concentrațiile mici de ozon la nivelul solului provoacă iritarea căilor respiratorii și iritarea ochilor, iar concentrațiile mari de ozon pot provoca reducerea funcției respiratorii. Prin acțiunea agresivă exercitată asupra vegetației, pădurilor și recoltelor, care poate ajunge până la atrofierea unor specii, ozonul este poluantul regional responsabil pentru cele mai mari daune produse în sectorul agricol în Europa.

Rezultatele monitorizării O<sub>3</sub> la stațiile de monitorizare din Brașov în luna martie sunt prezentate în tabelul 1.1.2.3.1.

Tabelul 1.1.2.3.1. Rezultatele monitorizării ozonului

Nr. crt.	Stația de monitorizare	Valoarea maximă zilnică a mediei mobile pe 8 ore, µg/m <sup>3</sup>	Valoarea minimă a mediei orare, µg/m <sup>3</sup>	Valoarea maximă a mediei orare, µg/m <sup>3</sup>
1	Stația fond urban BV2 – Memorandului	114,4	5,0	131,2
2	Stația de trafic BV3 – B-dul Gării	85,4	3,1	99,9
3	Stația de fond suburban BV4 – Sânpetru	125,1	8,3	135,9
4	Stația de fond industrial BV5 – B-dul Al. Vlahuță	89,5	4,2	104,8
5	Stația EM1 – Fundata	91,9	35,5	96,5

Conform datelor prezentate în tabelul 1.1.2.3.1 valorile mediilor orare înregistrate în luna martie la stațiile de monitorizare din Brașov sunt mai mici decât pragul de informare de  $180\mu\text{g}/\text{m}^3$  și pragul de alertă de  $240\mu\text{g}/\text{m}^3$ .

Evoluția maximelor zilnice ale mediilor mobile pe 8 ore de  $\text{O}_3$  înregistrate în luna martie la stațiile de monitorizare din Brașov este prezentată în figura 1.1.2.3.1.

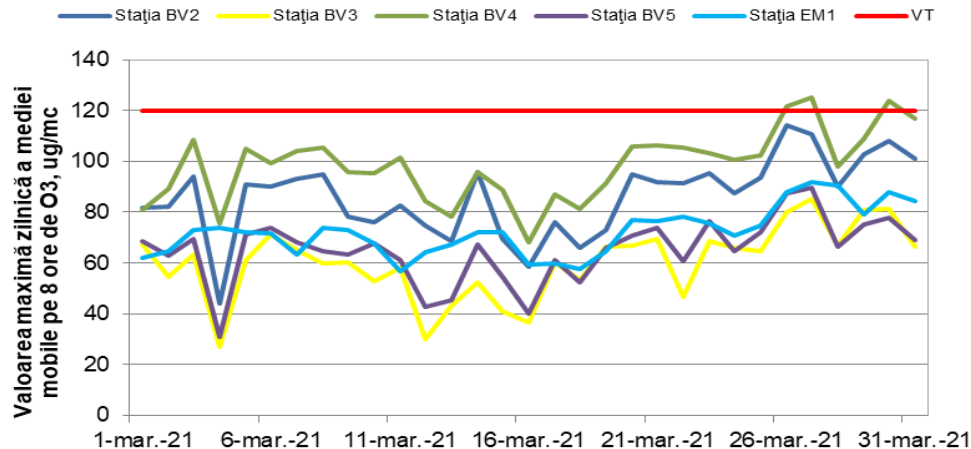


Figura 1.1.2.3.1. Evoluția maximelor zilnice ale mediilor mobile pe 8 ore de  $\text{O}_3$  în luna martie

În figura 1.1.2.3.1. se observă că în luna martie la stațiile de monitorizare din Brașov au fost înregistrate valori mai mici decât obiectivul pe termen lung și valoarea țintă pentru protecția sănătății umane de  $120\mu\text{g}/\text{m}^3$ , **cu excepția a 3 valori înregistrate la stația de fond suburban BV4-Sânpetru**. Formarea ozonului este catalizată de prezența radiației solare, concentrațiile de ozon fiind mai mari în perioada în care intensitatea acesteia este mai mare. Spre deosebire de alți poluanți, concentrațiile de ozon sunt în general, mai mari în zonele depărtate de sursele primare de emisie, pe direcția predominantă a vântului dinspre aceste zone. Acest lucru se datorează faptului că la distanțe scurte de sursele de  $\text{NO}_x$ , aşa cum este cazul la stațiilor de trafic, ozonul este consumat chimic de  $\text{NO}$  emis.

Figura 1.1.2.3.2. prezintă ciclul zilnic al  $\text{O}_3$  pe baza datelor înregistrate în luna martie la stațiile de monitorizare din Brașov, Sânpetru și Fundata.

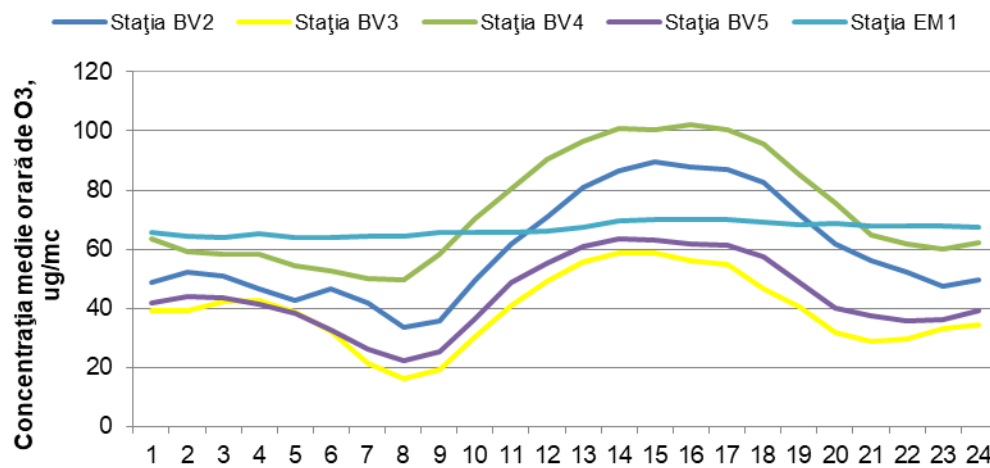
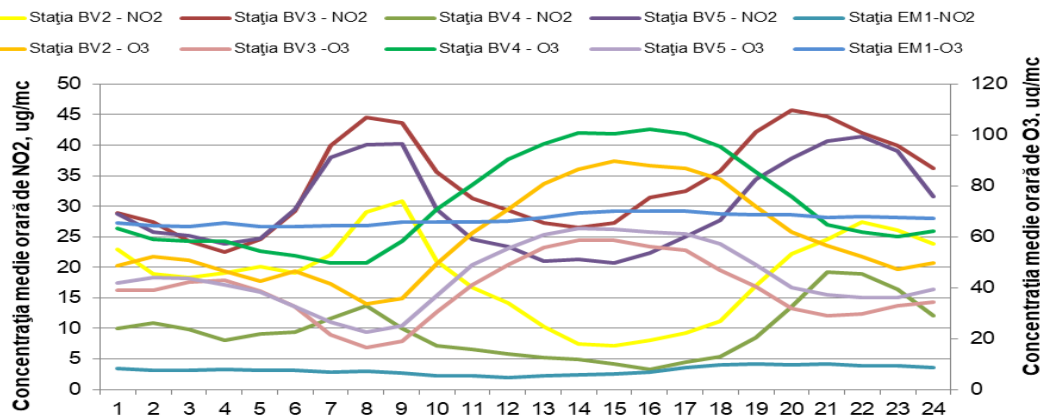


Figura 1.1.2.3.2. Ciclul zilnic al ozonului

Din figura anterioară se observă că formarea ozonului este catalizată de prezența radiației solare, concentrațiile de ozon fiind mai mari în perioada în care intensitatea acesteia este mai mare, în Sânpetru, localitate situată la periferia aglomerării Brașov, pe direcția predominantă a vântului dinspre sursele primare de emisie de precursors ai ozonului, din Brașov.

Figura 1.1.2.3.3. prezintă ciclul zilnic al  $\text{O}_3$  și  $\text{NO}_2$  pe baza datelor înregistrate în luna martie la stațiile de monitorizare din Brașov.



\*captura de date valide de  $\text{NO}_2$  la stația EM1 a fost de 53,4%

Figura 1.1.2.3.3. Ciclul zilnic al  $\text{O}_3$  și  $\text{NO}_2$

Examinând figura anteroară se observă că în primele ore ale dimineții, din cauza traficului intens sunt emiși poluanți primari în concentrații mari, care reacționează cu  $\text{O}_3$  existent. Determinând astfel o ușoară scădere a concentrației de ozon în atmosferă în zona urbană. Odată cu creșterea intensității radiației solare sunt accelerate reacțiile fotochimice determinând creșterea concentrației de  $\text{NO}_2$  în cursul dimineții în intervalul orar 7 – 11 în Brașov, creșterea concentrației și apariția picului de ozon la stația de fond urban și suburban, în intervalul orar 11 – 18, format prin reacțiile fotochimice ale  $\text{NO}_2$  cu compușii organici volatili – precursori ai ozonului. De asemenea, se observă că în perioada în care  $\text{O}_3$  prezintă un maxim, concentrația de  $\text{NO}_2$  este minimă, ca urmare a consumării  $\text{NO}_2$  la formarea  $\text{O}_3$ . La stația EM 1 Fundata se observă că dioxidul are o concentrație constantă mică și ozonul are o variație mică în timpul zilei, ca urmare a faptului că aportul de poluanți precursori ai ozonului este minim, aproape inexistent, iar reacțiile fotochimice la care participă  $\text{NO}_2$  și  $\text{O}_3$  sunt aproape la echilibru.

#### 1.1.2.4. Pulberile în suspensie PM10 și PM2,5

Pulberile în suspensie sunt poluanți primari eliminați în atmosferă din surse naturale (erupții vulcanice, eroziunea rocilor, furtuni de nisip și dispersia polenului) sau surse antropice (activități industriale, procese de combustie, traficul rutier) și poluanți secundari formați în urma reacțiilor chimice din atmosferă în care sunt implicați alți poluanți primari ca  $\text{SO}_2$ ,  $\text{NOx}$  și  $\text{NH}_3$ .

Fracția PM10 a pulberilor în suspensie cuprinde particulele care au diametrul aerodinamic mai mic de 10  $\mu\text{m}$ , iar fracția PM 2,5 cuprinde particulele care au diametrul aerodinamic mai mic de 2,5  $\mu\text{m}$ .

Rezultatele monitorizării prin metoda de referință gravimetrică și automată a pulberilor în suspensie fracția PM10 în Brașov în luna martie sunt prezentate în tabelul 1.1.2.4.1.

Tabelul 1.1.2.4.1. Rezultatele monitorizării pulberilor în suspensie, fracția PM10

Nr. Crt.	Stația de monitorizare	Metoda gravimetrică		Metoda automată	
		Valoarea medie lunată, $\mu\text{g}/\text{m}^3$	Valoarea maximă a mediei zilnice, $\mu\text{g}/\text{m}^3$	Valoarea medie lunată, $\mu\text{g}/\text{m}^3$	Valoarea maximă a mediei zilnice, $\mu\text{g}/\text{m}^3$
1	Stația de trafic BV1 – Calea București	26,3	66,4	21,1	40,1
2	Stația de trafic BV3 – B-dul Gării	30,4	67,8	19,1	32,5
3	Stația de fond urban BV2 – Memorandului	22,1	50,2	15,7	48,3
4	Stația de fond industrial BV5 – B-dul Al. Vlahuță	-	-	19,5	35,7
5	Stația de fond suburban BV4 – Sânpetru	26,0	85,3	28,1	69,5
6	Stația EM1 – Fundata	8,1	25,2	8,2	16,7

Conform datelor prezentate în tabelul 1.1.2.4. în luna martie 2021 nu au fost înregistrate valori ale concentrației medii zilnice de PM10 gravimetric măsurate prin metoda de referință (gravimetrică) mai mari decât valoarea limită zilnică pentru protecția sănătății umane de  $50 \mu\text{g}/\text{m}^3$ , cu excepția a câte unei valori înregistrate la stația BV1 – Calea București, stația BV2 – Memorandum și la BV3 - B-dul Gării, respectiv a 2 valori înregistrate la stația BV4 – Sânpetru.

În figura 1.1.2.4.1. este prezentată evoluția mediilor zilnice de PM10 în luna martie în cele cinci stații de monitorizare din Brașov.

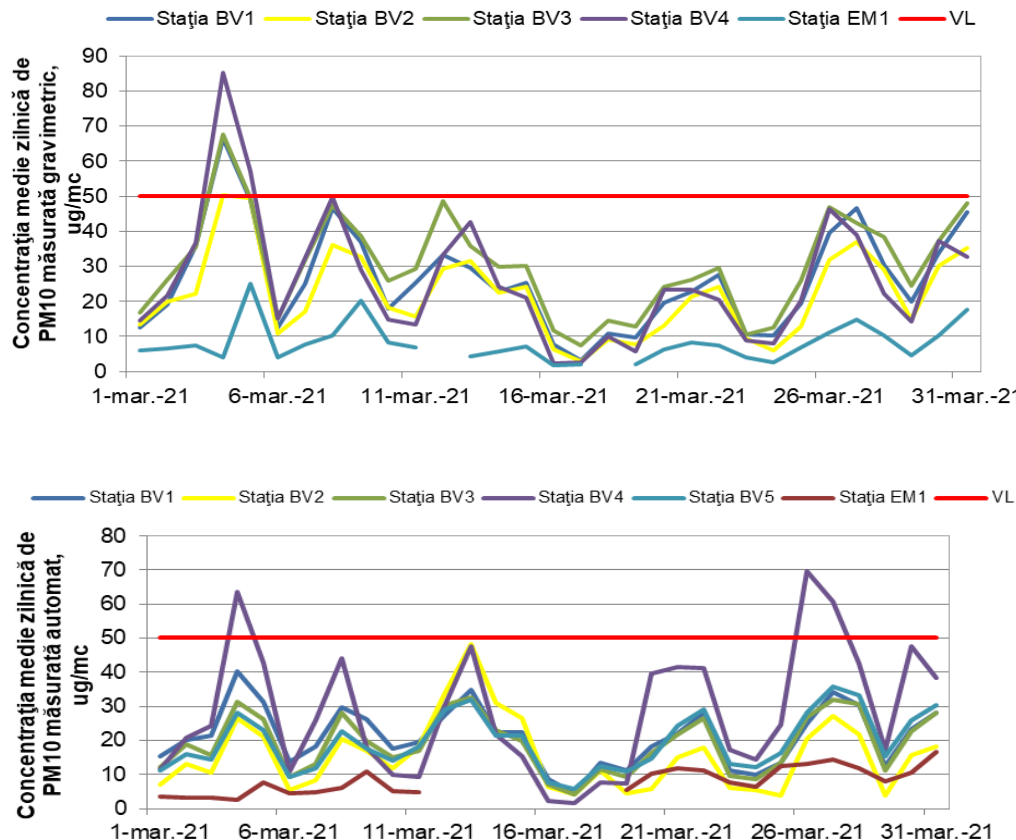


Figura 1.1.2.4.1. Evoluția mediilor zilnice de PM 10 în luna martie

Există mai multe surse care contribuie la apariția particulelor în suspensie, cum ar fi **arderea incompletă a combustibililor** în motoarele autovehiculelor, alte procese de combustie (arderi pentru încălzirea rezidențială, incinerarea deșeurilor, etc), procese industriale (prelucrarea metalelor), **santierele**, uzura carosabilului, uzura anvelopelor și corodarea părților metalice ale vehiculelor; dar trebuie avute în vedere și fenomele de transport a PM la distanță, **resuspensia particulelor**, gradul de curățenie al drumurilor și al autovehiculelor, precum și sursele naturale.

Din graficele prezentate anterior se observă că în luna martie au fost înregistrate concentrații medii pe 24 ore de pulberi în suspensie fracția PM10 măsurate prin gravimetrie mai mari decât valoarea limită zilnică de  $50 \mu\text{g}/\text{m}^3$ . Valorile ridicate pentru concentrația de pulberi în suspensie fracția PM10 au fost cauzate de emisiile provenite din traficul rutier și alte procese de ardere a combustibililor, asociate condițiile nefavorabile dispersiei poluanților (calm atmosferic, inversiune termică și/sau umiditate ridicată). S-a observat că nu au mai fost înregistrate valori crescute pentru concentrația de pulberi în suspensie fracția PM10, fiind înregistrată scăderea concentrației sub valoarea limită, de îndată ce condițiile meteorologice au determinat dispersia pulberilor în suspensie în aerul ambiental și ca urmare a căderilor de precipitații.

Efectul pulberilor în suspensie asupra sănătății umane, în special asupra aparatului respirator, este influențat de dimensiunea și compoziția chimică a particulelor. Particulele mari sunt oprite în nări, unde aderă la mucus sau în gât, provocând iritații ale căilor respiratorii, dar de unde pot fi eliminate. Particulele mai mici de 1  $\mu\text{m}$  ajung în alveolele pulmonare unde se depun și de unde pot trece în sânge, provocând inflamații și intoxicații, în funcție de compoziția chimică. Sunt

afectate în special persoanele cu boli cardiovasculare și respiratorii, copiii, vârstnicii și astmaticii. Poluarea cu pulberi accentuează simptomele astmului, respectiv tuse, dureri în piept și dificultăți în respirație.

În graficul de mai jos este reprezentată evoluția concentrațiilor de PM10 în funcție de viteza vântului la stațiile BV2 Memorandum și BV3 B-dul Gării din Brașov, precum și BV4 Sânpetru, pentru perioada în care au fost monitorizați simultan cei doi parametrii.

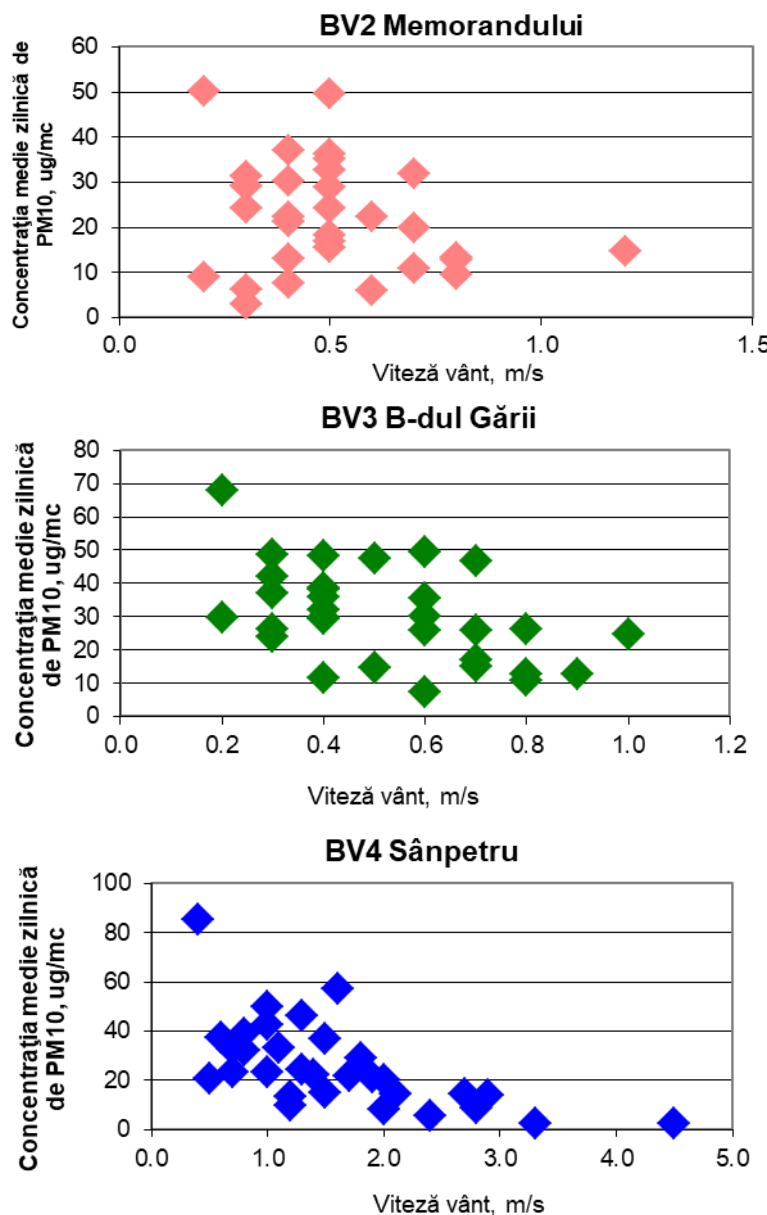


Figura 1.1.2.4.2. Evoluția mediilor zilnice de PM 10 în funcție de viteza vântului

Din graficul anterior se observă că **cele mai mari concentrații de PM10 se înregistrează în condițiile de calm atmosferic**, atunci când viteza vântului este mică. În luna martie viteza medie lunară a vântului a fost de 0,51 m/s la stația BV2, 0,52 m/s la stația BV3 și 1,60 m/s la stația BV4. Vitezele foarte mici ale vântului, explicabile prin relieful zonei, determină condiții foarte slabe pentru dispersia PM10 și în unele perioade permit acumularea pulberilor provenite de la sursele locale dar și a celor transportate pe distanțe lungi.

Aceste date sunt reprezentative pentru a exemplifica **vulnerabilitatea pe care factorii naturali (condițiile meteo și topografia) o conferă Brașovului pentru poluarea aerului cu pulberi în suspensie, fracția PM10**.

În figura 1.1.2.4.3 este prezentat ciclul zilnic al PM10 și CO calculat în baza datelor achiziționate la stațiile de monitorizare din Brașov și Sânpetru în luna martie.

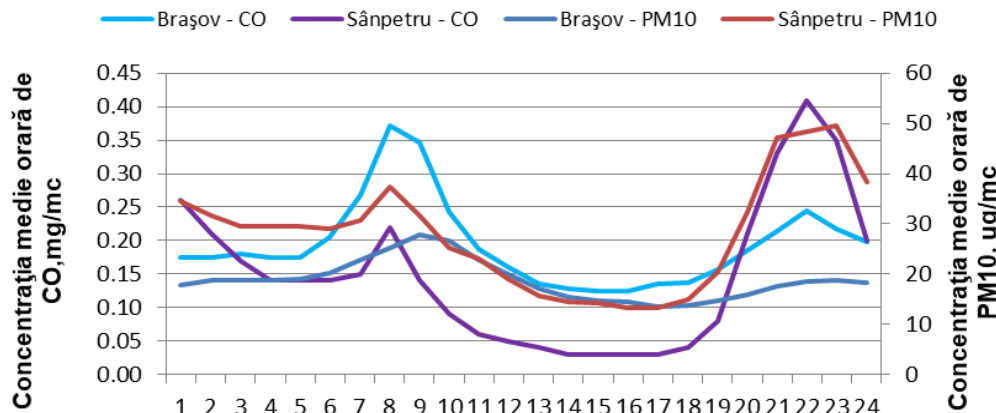


Figura 1.1.2.4.3: Ciclul zilnic al PM10 și CO în Brașov și Sânpetru

Urmărind evoluția similară a datelor prezentate în graficul anterior se poate concluziona că în luna martie au fost și alte surse relevante pentru PM10 din aerul ambiental în Brașov, alături de trafic, ex: procesele de ardere pentru producerea de energie termică. De asemenea, la Sânpetru se observă apariția unui pic mai mare seară, ca urmare a intensificării emisiilor provenite din diverse procese de ardere.

Rezultatele monitorizării fracției PM 2,5 din pulberile în suspensie în stația de fond urban BV2 Memorandului, în luna martie sunt prezentate în tabelul 1.1.2.4.2.

Tabelul 1.1.2.4.2. Rezultatele monitorizării pulberilor în suspensie, fracția PM 2,5

Nr. crt.	Stația de monitorizare	Metoda gravimetrică	
		Valoarea medie lună, $\mu\text{g}/\text{m}^3$	Valoarea maximă a mediei zilnice, $\mu\text{g}/\text{m}^3$
1	Stația fond urban BV2 – Memorandului	16,1	32,4

Evoluția concentrațiilor medii zilnice de PM 2,5 și PM10 măsurate prin metoda gravimetrică de referință înregistrate în luna martie în stația de fond urban BV2 este prezentată în figura 1.1.2.4.4.

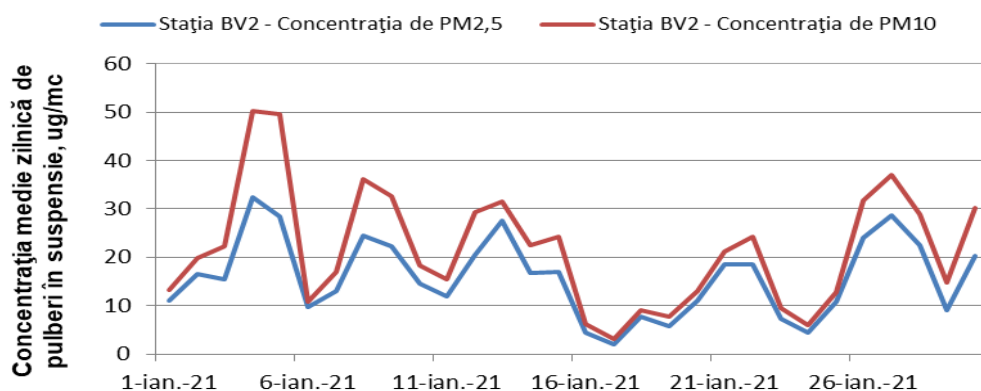


Figura 1.1.2.4.4 Evoluția mediilor zilnice de PM 2,5 și PM10 în luna martie

Din graficul anterior se observă că valorile concentrațiilor medii zilnice de PM2, 5 și PM10 înregistrate în Brașov (la stația BV2) au același trend, cresc simultan pe același interval de timp. Evoluția datelor din graficul anterior indică faptul că **particulele grosiere** (cu diametrul mai mic de 10  $\mu\text{m}$  și mai mare de 2,5 $\mu\text{m}$ ) **au fost, preponderent, componenta principală a pulberilor în suspensie** măsurate în luna martie.

În graficul de mai jos este reprezentată evoluția concentrațiilor de PM2,5 în funcție de viteza vântului la stația BV2 – Memorandului pentru perioada în care au fost monitorizați simultan cei doi parametrii.

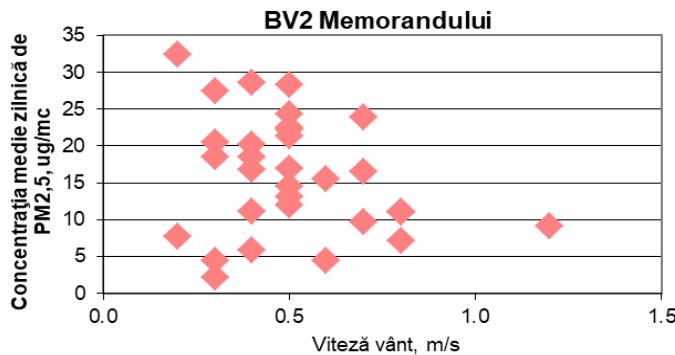


Figura 1.1.2.4.5. Evoluția mediilor zilnice de PM 2,5 în funcție de viteza vântului

Din graficul anterior se observă că **cele mai mari concentrații de PM2,5 se înregistrează în condițiile de calm atmosferic**, atunci când viteza vântului este mică. În luna martie viteza medie lunară a vântului a fost de 0,51 m/s la stația BV2. Vitezele foarte mici ale vântului, explicabile prin relieful zonei, determină condiții foarte slabe pentru dispersia PM2,5 și în unele perioade permit acumularea pulberilor provenite de la sursele locale dar și a celor transportate pe distanțe lungi.

Aceste date sunt reprezentative pentru a exemplifica **vulnerabilitatea pe care factorii naturali (condițiile meteo și topografia) o conferă Brașovului pentru poluarea aerului cu pulberi în suspensie, fracția PM2,5**.

### 1.1.2.5. Monoxidul de carbon

La temperatura mediului ambiental, monoxidul de carbon este un gaz incolor, inodor și insipid, care provine din surse naturale (arderea pădurilor, emisiile vulcanice și descărcările electrice) sau din surse antropice (arderea incompletă a combustibililor fosili, dar și de la producerea oțelului și a fontei, rafinarea petrolului și din trafic).

Monoxidul de carbon se poate acumula la un nivel periculos în special în perioada de calm atmosferic din timpul iernii și primăverii (fiind mult mai stabil din punct de vedere chimic la temperaturi scăzute), când arderea combustibililor fosili atinge un maxim.

Efectele asupra sănătății populației depind de concentrația CO în aerul ambiental și de perioada de expunere. În concentrații mari (de aproximativ 100 mg/m<sup>3</sup>) este un gaz toxic, fiind letal prin reducerea capacitatii de transport a oxigenului în sânge, cu consecințe asupra sistemului respirator și a sistemului cardiovascular. La concentrații relativ scăzute afecteză sistemul nervos central, slăbește pulsul inimii, reduce acuitatea vizuală și capacitatea fizică. Expunerea pe o perioadă scurtă poate cauza oboseală acută, dificultăți respiratorii și dureri în piept persoanelor cu boli cardiovasculare și determină iritabilitate, migrene, lipsă de coordonare, greață, amețeală, confuzie, reduce capacitatea de concentrare. Grupele de populație cele mai afectate de expunerea la monoxid de carbon sunt: copiii, vârstnicii, persoanele cu boli respiratorii și cardiovasculare, persoanele anemice, fumătorii.

La concentrații monitorizate în mod obișnuit în atmosferă CO nu are efecte asupra plantelor, animalelor sau mediului.

Rezultatele monitorizării monoxidului de carbon în județul Brașov în luna martie sunt prezentate în tabelul 1.1.2.5.1.

Tabelul 1.1.2.5.1. Rezultatele monitorizării monoxidului de carbon

Nr. Crt.	Stația de monitorizare	Valoarea maximă zilnică a mediei mobile pe 8 ore, mg/m <sup>3</sup>	Valoarea maximă a mediei orare, mg/m <sup>3</sup>
1	Stația de trafic BV1 – Calea București	0,53	1,49
2	Stația de trafic BV3 – B-dul Gării	0,69	1,02
3	Stația fond urban BV2 – Memorandului	0,78	1,32
4	Stația de fond suburban BV4 – Sânpetru	1,54	2,14

5	Stația de fond industrial BV5 – B-dul Al. Vlahuță	0,75	1,10
6	Stația EM1 – Fundata	0,11	0,21

Conform datelor prezentate în tabelul 1.1.2.5.1 valorile maxime zilnice ale mediilor mobile pe 8 ore înregistrate la stațiile de monitorizare sunt mai mici decât valoarea limită pentru protecția sănătății umane de  $10 \text{ mg/m}^3$ .

În figura 1.1.2.5.1 este prezentată evoluția maximelor zilnice ale mediilor mobile pe 8 ore de CO obținute în baza datelor achiziționate în luna martie la stațiile de monitorizare din județul Brașov.

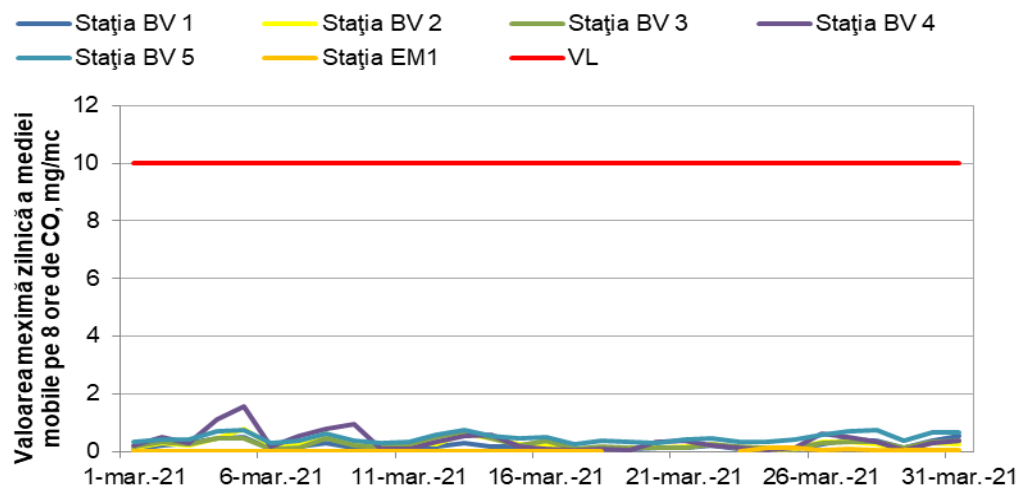


Figura 1.1.2.5.1. Evoluția maximelor zilnice ale mediei mobile de CO în luna martie

Din figura 1.1.2.5.1 se observă că în luna martie au fost înregistrate valori mai mici decât obiectivul de calitate a aerului ambiental pentru CO.

Ciclul zilnic al CO în baza datelor înregistrate în luna martie la stațiile de monitorizare din județul Brașov este prezentat în figura 1.1.2.5.2.

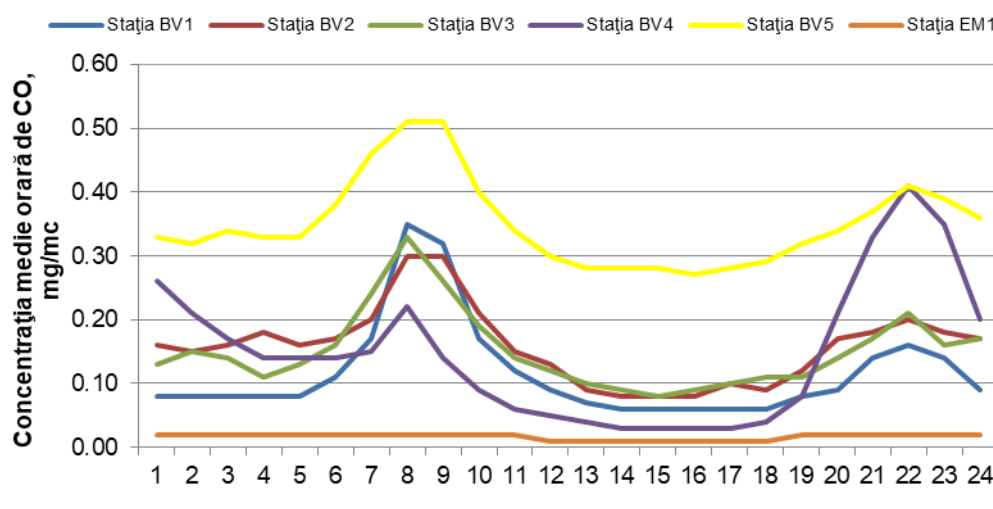


Figura 1.1.2.5.2. Ciclul zilnic al CO

În figura 1.1.2.5.2. se observă că evoluția concentrației CO prezintă un maxim în zonele și perioadele cu trafic intens, din cauza emisiilor provenite din arderea combustibililor în motoarele automobilelor.

În figura 1.1.2.5.3. este prezentat ciclul zilnic al CO pentru zilele lucrătoare din săptămână și pentru zilele de weekend în Brașov, Sânpetru și Fundata, în baza datelor achiziționate în luna martie.

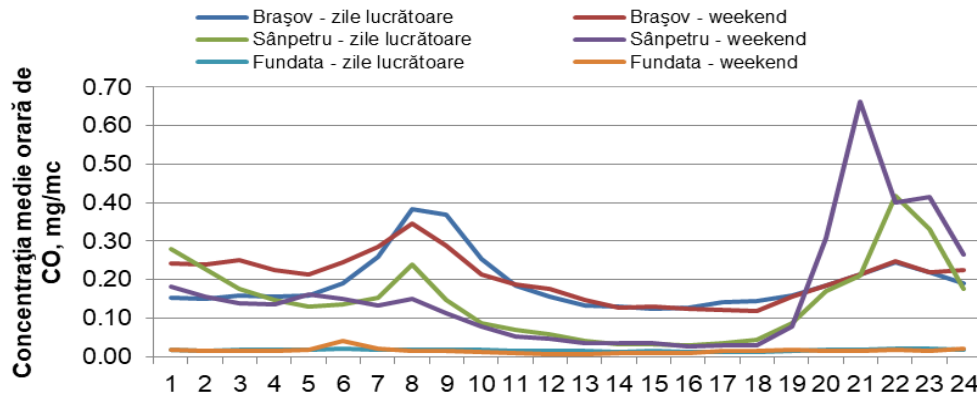


Figura 1.1.2.5.3. Ciclul zilnic al CO în timpul săptămânii

În figura 1.1.2.5.3. se poate observa variația diurnă a concentrației de CO în funcție de variația fluxului de trafic și a condițiilor de dispersie. Datele indică apariția unui pic în intervalul 7 și 12 am, corespunzător orelor cu trafic intens și unei stabilități atmosferice ridicate. Ulterior se observă o scădere graduală și apariția unui pic în timpul serii la Sânpetru, ca urmare a intensificării emisiilor unor surse de ardere cu impact asupra stației BV4 Sânpetru. La Fundata valorile sunt mici, stația fiind amplasată la distanță de surse locale de emisii.

### 1.1.2.6. Benzenul

Benzenul, primul termen în seria compușilor aromatici, este un compus organic insolubil în apă, cu volatilitate mare, care provine în special din arderea incompletă a combustibililor (benzină), dar și din evaporarea solventilor organici folosiți în diferite activități industriale și evaporarea în timpul proceselor de producere, transport și depozitare a produselor care conțin benzen.

Datorită stabilității chimice ridicate, benzenul are timp mare de permanență în straturile joase ale atmosferei, unde se poate acumula.

Benzenul ajunge în organism prin inhalarea aerului ambiental și a fumului de țigară sau ingerarea unor alimente contaminate. Fumul de țigară conține benzen în concentrații ridicate și este o sursă de expunere importantă pentru fumătorii activi și pasivi.

Benzenul este îndepărtat din atmosferă prin dispersie, la apariția condițiilor meteorologice favorabile acestui fenomen sau prin reacții fotochimice la care benzenul este reactant. În urma cercetărilor efectuate, benzenul a fost încadrat în clasa A1 a substanțelor cu efect cancerigen.

Rezultatele monitorizării benzenului în luna martie la stațiile de monitorizare din Brașov sunt prezentate în tabelul 1.1.2.6.1.

Tabelul 1.1.2.6.1. Rezultatele monitorizării benzenului

Nr. Crt.	Stația de monitorizare	Captura de date valide	Valoarea medie lună, $\mu\text{g}/\text{m}^3$	Valoarea minimă a mediei zilnice, $\mu\text{g}/\text{m}^3$	Valoarea maximă a mediei zilnice, $\mu\text{g}/\text{m}^3$
1	Stația de trafic BV1 – Calea București	88,2 %	2,6	1,6	4,6
2	Stația de trafic BV3 – B-dul Gării	98,8 %	2,8	1,5	8,9
3	Stația fond urban BV2 – Memorandului	98,9 %	2,3	1,3	4,0
4	Stația de fond suburban BV4 – Sânpetru	99,2 %	2,7	1,3	6,7
5	Stația de fond industrial BV5 – B-dul Al. Vlahuță	82,5 %	2,8	0,6	5,0
6	Stația EM1 – Fundata	98,8 %	1,1	0,7	1,6

În figura 1.1.2.6.1 este prezentată evoluția mediilor zilnice de benzen la stațiile de monitorizare din Brașov în luna martie și se observă că la stațiile din aglomerarea Brașov au fost înregistrate valori medii lunare mai mari.

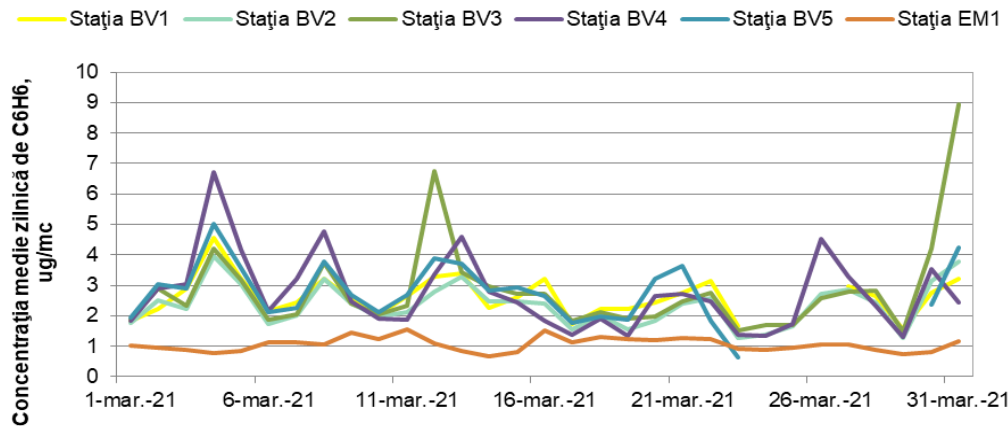


Figura 1.1.2.6.1: Evoluția mediilor zilnice de benzen în luna martie

În figura 1.1.2.6.2 este prezentat ciclul zilnic al CO și benzenului calculat în baza datelor achiziționate la stațiile de monitorizare din Brașov în luna martie.

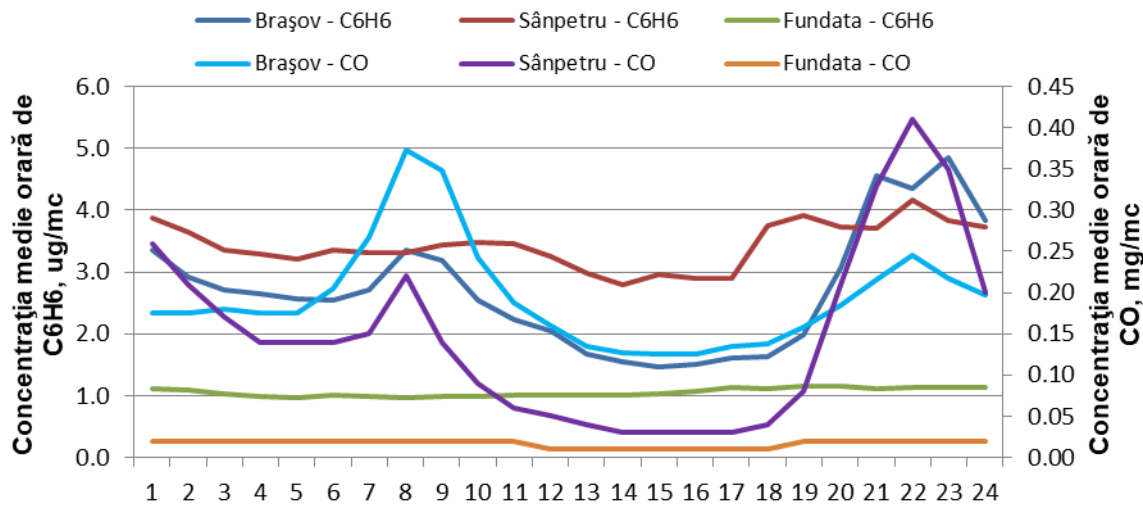


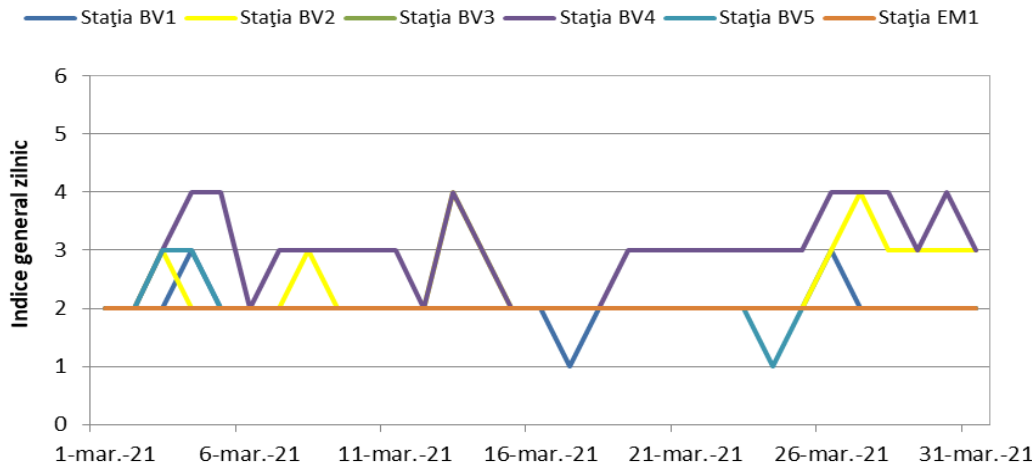
Figura 1.1.2.6.2: Ciclul zilnic al CO și benzenului în Brașov

Urmărind evoluția similară a datelor prezentate în graficul anterior, se poate concluziona că în luna martie traficul rutier a fost sursa relevantă pentru benzenul din aerul ambiental în Brașov, fiind înregistrate valori ridicate în orele cu trafic intens. La Sânpetru se observă apariția unui pic mai mare seară, ca urmare a intensificării emisiilor provenite din diverse procese de ardere, iar la Fundata se observă un nivel mai scăzut, relativ constant de benzen în timpul zilei, conform datelor măsurate.

### 1.1.2.7. Evoluția indicelui general de calitatea aerului din rețeaua locală de monitorizare a calității aerului

În baza datelor achiziționate de la stațiile automate din rețeaua locală de monitorizare a calității aerului și validate pentru luna martie a fost stabilit indicele general zilnic de calitatea aerului ca fiind cel mai mare indice specific calculat pentru SO<sub>2</sub>, NO<sub>2</sub>, O<sub>3</sub>, CO și PM10.

Evoluția indicelui general de calitatea aerului, exprimat prin indici de la 1 la 6, cu următoarea semnificație: 1 – bun, 2 – acceptabil, 3 – moderat, 4 – rău, 5 – foarte rău, 6 – extren de rău, este prezentată în graficul următor:



**Notă:** Indicele general zilnic de calitatea aerului a fost stabilit conform OM 1818/2021 privind aprobarea indicilor de calitate a aerului, care reprezintă un sistem de codificare utilizat pentru informarea publicului privind calitatea aerului.

Figura 1.1.2.7.1. Indicele general zilnic de calitatea aerului

În luna **martie au fost înregistrate concentrații medii pe 24 ore de pulberi în suspensie fractia PM10, măsurate prin nefelometrie ortogonală, mai mari decât valoarea limită zilnică de 50 µg/m³** în zona Memorandului din Brașov și str. Morii din Sânpetru.

De asemenea, corelat cu variația concentrației de PM10, în această perioadă au fost înregistrate creșteri ale concentrației de NO2 și CO fără a se depăși valorile limită reglementate pentru acești indicatori, fiind observate și creșteri ale concentrației de benzen. Valorile ridicate pentru concentrația de pulberi în suspensie fractia PM10 în aceste zone au fost cauzate de emisiile provenite din traficul rutier și alte procese de ardere, asociate cu condițiile nefavorabile dispersiei poluanților (calm atmosferic, inversiune termică și/sau umiditate ridicată).

De asemenea, în luna **martie au fost înregistrate valori ale concentrației medii orare pentru ozon mai mari de 130 µg/m³**, dar mai mici decât pragul de informare pentru ozon de 180µg/m³ și pragul de alertă pentru ozon de 240µg/m³ în zona str. Memorandului din Brașov și str. Morii din Sânpetru, concentrația maximă orară înregistrată fiind de 131 µg/m³, respectiv de 136µg/m³.

S-a observat că nu au mai fost înregistrate valori crescute pentru concentrația de ozon și pulberi în suspensie, fiind înregistrată scăderea concentrației la valorile obișnuite de îndată ce condițiile meteorologice au determinat dispersia poluanților în aerul ambiental, sau ca urmare a căderilor de precipitații.

### 1.1.2.8. Concluzii legate de calitatea aerului ambiental în aglomerarea Brașov

1. Stațiile de monitorizare a calității aerului din aglomerarea Brașov sunt instrumente în gestionarea calității aerului ambiental, furnizând datele referitoare la evaluarea calității aerului efectuată prin măsurători în puncte fixe.
2. În baza **datelor achiziționate și validate** pentru luna **martie** nivelul poluării din zona monitorizată a fost scăzut, fiind înregistrată:
  - a. încadrarea tuturor valorilor medii orare sub pragurile de alertă pentru dioxid de sulf, dioxid de azot și ozon și respectiv sub pragul de informare pentru ozon;
  - b. încadrarea tuturor valorilor medii orare pentru dioxid de sulf și pentru dioxid de azot, a mediilor zilnice pentru PM10, **cu excepția a câte unei valori înregistrate la stația BV1 – Calea București, stația BV2 – Memorandului și la BV3 - B-dul Gării, respectiv a 2 valori înregistrate la stația BV4 – Sânpetru**, respectiv a mediilor zilnice de dioxid de sulf și a maximelor zilnice ale mediilor mobile pe 8 ore pentru CO sub valorile limită și a maximelor zilnice ale mediilor mobile pe 8 ore de O<sub>3</sub> sub valoarea țintă, **cu excepția a 3 valori înregistrate la stația BV4 – Sânpetru**.
3. Valorile ridicate pentru concentrația de pulberi în suspensie fractia PM10 au fost cauzate de emisiile provenite din traficul rutier și alte procese de ardere, asociate cu condițiile nefavorabile dispersiei poluanților (calm atmosferic, inversiune termică și/sau umiditate

ridicată), în aceeași perioadă fiindt înregistrate creșteri ale concentrației de NO<sub>2</sub> și CO fără a se depăși valorile limită reglementate pentru acești indicatori, dar și creșteri ale concentrației de benzen.

4. În zona municipiului Brașov o sursă importantă de poluare și implicit de diminuare a calității aerului este traficul rutier, intensitatea sa determinând momente în care apar picuri de concentrație pentru poluanții specifici monitorizați – CO, NO, NO<sub>2</sub>, C<sub>6</sub>H<sub>6</sub> și PM10.
5. În zonele situate la periferia aglomerării aerul ambiental a avut o calitate mai bună în raport cu concentrațiile poluanților primari, fiind înregistrate concentrații mai mari de ozon troposferic, ca urmare a manifestării condițiilor prielnice formării ozonului troposferic (intensitatea radiației solare ridicată, calm atmosferic, temperatura ambientală în jurul valorii de 20°C și prezența precursorilor ozon – NOx, COV, CO)
6. Probele de precipitații prelevate în luna martie au avut pH neutru.

**Întocmit:** Ioana Benga

## 1.2. Radioactivitatea mediului

Componentă a Rețelei Naționale de Supraveghere a Radioactivității Mediului (RNSRM), Stația de Radioactivitate Brașov derulează un program zilnic de 11 ore. Programul de lucru presupune măsurători ale activității β globale în raport cu sursa etalon (Sr-Y)<sup>90</sup> asupra factorilor de mediu: aer, depuneri atmosferice, ape brute de suprafață și de adâncime, sol necultivat și vegetație spontană (aprilie-octombrie), precum și măsurători ale debitului de doză gamma.

Avantajul măsurătorilor β globale : eficacitatea de detecție β este mult mai mare, deci volumul probelor colectate poate fi mai mic și implicit timpul necesar obținerii valorilor radioactivității va fi mai mic. Pentru detectarea radionuclizilor prezenti, probele prelucrate se trimit lunar spre analiză și spectrometrică la Laboratorul Național de Referință din cadrul ANPM București

Tot aici se trimit zilnic în flux rapid rezultatele măsurărilor β globale. După validare, acestea sunt preluate în circuit internațional.

**Radioactivitatea naturală a mediului** este sursa majoră de iradiere (internă și externă) a organismului uman. Radioactivitatea naturală este determinată de prezența în aer, apă, sol, vegetație, organisme animale a substanțelor radioactive de origine terestră, existente în mod natural din cele mai vechi timpuri, la care se adaugă radiația cosmică.

Radioactivitatea atmosferei este dată, în perioade normale de timp, în principal de descendenții gazelor radioactive Radon și Toron. Acestea sunt gaze nobile, produse în sol la un anumit pas al dezintegrării capilor de serie, elementele radioactive U-238 și respectiv Th-232, aflate în scoarța terestră în cantități mici, încă de la formarea Pământului. În procesul de dezintegrare radioactivă, descendenții de viață scurtă sau lungă ai Radonului migrează rapid în aer: o parte rămân în galerii, peșteri, tunele, o altă parte difuzează prin sol și ieșe rapid la suprafața terestră. În momentul formării, acești descendenți sunt ionizați pozitiv și pot forma complexe care se pot ataşa de particulele de praf și aerosoli.

Toronul, având un timp de înjumătățire foarte mic, se dezintegrează foarte repede, deci în mediu este de interes studiul Radonului. Acesta provine din Radiul existent în particulele de sol, provenit el însuși din seriile uraniului și toriuului.

**Radioactivitatea aerului** se determină prin procedeul aspirării pe filtre a aerosolilor atmosferici. Se efectuează două aspirații pe zi, timp de 5 ore fiecare. Pentru separarea contribuției radionuclizilor naturali la radioactivitatea unei probe, fiecare filtru este măsurat de 3 ori (la 3 minute de la recoltare, la 20 de ore și la 5 zile).

Pe baza valorilor obținute, se calculează și activitatea beta globală a radioizotopilor naturali cei mai răspândiți în atmosferă: **Radon (Rn-222)** cu timp de înjumătățire de 3.82 zile și **Toron (Rn-220)** cu timp de înjumătățire de 55.6 secunde.

Valorile activității sunt supuse unor fluctuații puternice, în spațiu și timp, ca urmare a condițiilor locale și a influenței factorilor meteorologici. Astfel, în primul rand, fluxul de Radon din sol depinde de tipul rocilor din zona respectivă și de tipul și starea solului (afânat, cu capilarele îmbibate cu apă, acoperit cu zăpadă, etc). Variația medie a acestor condiții determină o variație anotimpuală a radioactivității aerului. Maximele sunt iarna, iar minimele sunt vara.

În al doilea rând, în atmosferă, atomii radioactivi sunt antrenați în procesul de difuzie, puternic influențat de fenomenele meteorologice. Ca urmare, se constată o variație diurnă a

concentrației radionuclizilor naturali din atmosferă, cu un maxim dimineața, la răsăritul soarelui, provenit din apariția inversiunii de temperatură, care face ca radionuclizii să se acumuleze în stratul de lângă sol, fiind împiedicăți să se împrăștie pe verticală. Maximul de dimineață se manifestă și mai pregnant în prezența ceții, sau a oricăror factori atmosferici care favorizează condiții slabe de dispersie în atmosferă.

Monitorizarea permanentă a radioactivității mediului conduce la cunoașterea acestor variații și permite distincția între creșteri ale radioactivității datorate fluctuațiilor naturale sau creșteri ale radioactivității rezultate din eventuale accidente.

În luna martie 2021 activitatea beta globală a aerosolilor atmosferici a înregistrat valori medii lunare mai mici atât la aspirația de noapte (interval orar 3-8) cât și la cea diurnă (interval orar 9-14) față de cele din luna februarie 2021.

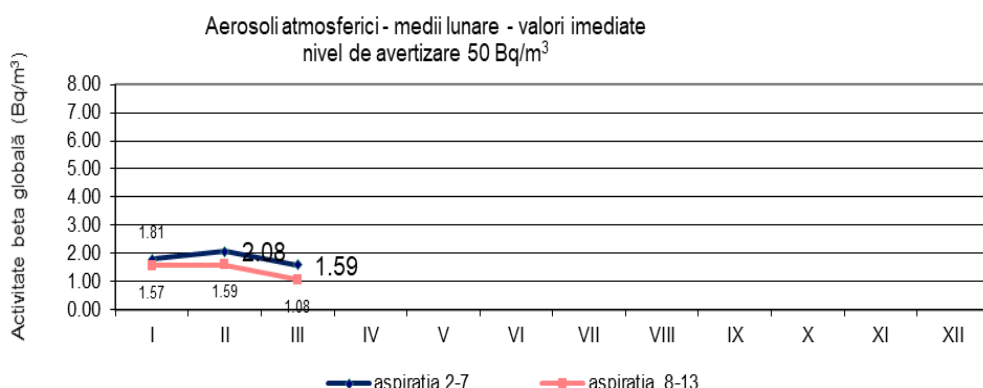


Fig. 1.3.1. Activitatea beta globală pentru aerosoli atmosferici

În consecință, valorile concentrațiilor radioizotopilor naturali Radon și Toron sunt la fel, mai mici, atât la aspirația de noapte (interval orar 3-8) cât și la cea diurnă (interval orar 9-14), față de cele din luna februarie.

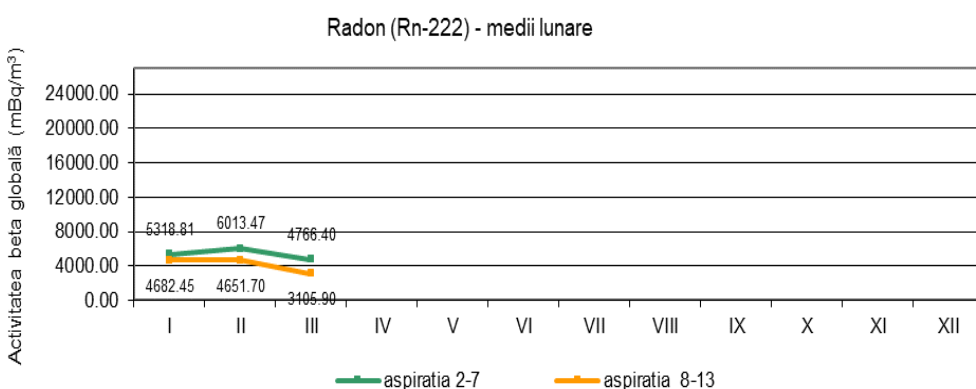


Fig. 1.3.2. Activitatea calculată a Radonului

**Debitul dozei gamma în aer.** Datele se preiau de la Stația automată situată în apropierea sediului APM, care furnizează valorile debitului echivalentului de doză la interval orar. În luna martie, valorile orare s-au încadrat între 0.066 și 0.158  $\mu\text{Sv}/\text{h}$ , cu o medie lunară de 0.103  $\mu\text{Sv}/\text{h}$ .

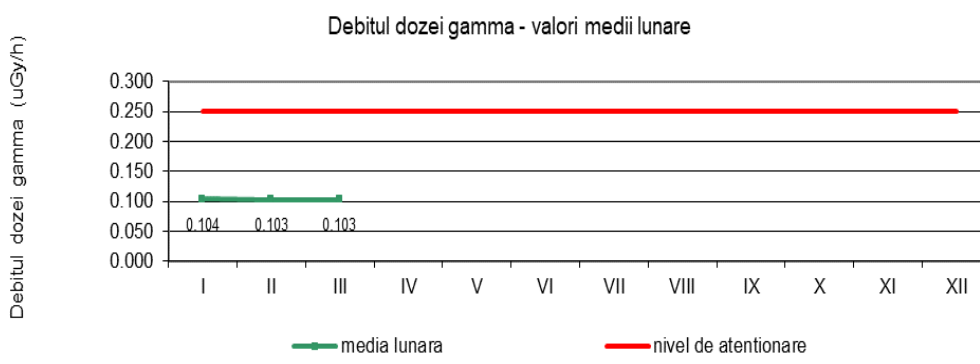


Fig. 1.3.3. Debitul dozei gamma în aer

**Depunerile atmosferice.** Probele se preleveză zilnic pe o suprafață de 0.3 m<sup>2</sup>, durata de prelevare fiind de 24 de ore. Măsurarea se face o dată în ziua colectării și din nou după 5 zile, pentru detectarea radionuclizilor artificiali.

În luna martie media valorilor activității imediate a depunerilor atmosferice a fost mai mare decât media lunii anterioare, la fel și la măsurarea după 5 zile. Volumul de precipitații colectat a fost în luna martie de 17.780 litri față de 2.710 litri în luna februarie.

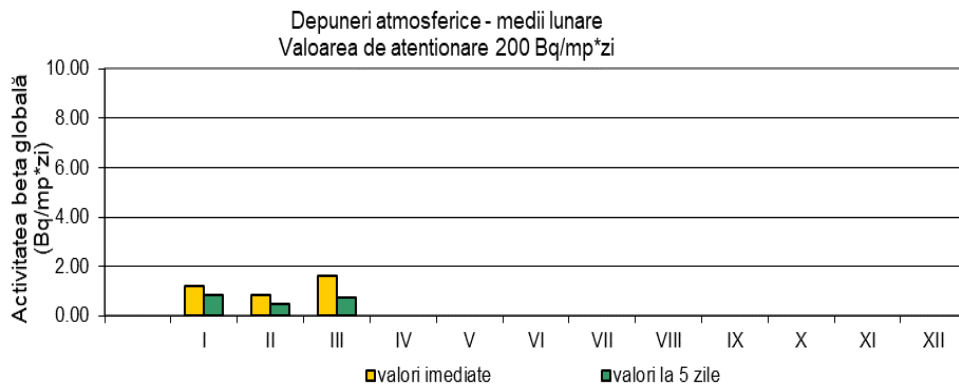


Fig. 1.3.4. Activitatea beta globală pentru depunerile atmosferice

#### Radioactivitatea apelor.

Probele de apă recoltate din județ se supun procesului de evaporare lentă și se măsoară radioactivitatea beta globală a reziduului rezultat, imediat și după 5 zile pentru a elimina contribuția radionuclizilor naturali, cu timp de viață scurtă.

**Proba de apă brută de suprafață din Pârâul Ghimbășel** la Ghimbav se preleveză zilnic. Media lunii martie a activității beta globale măsurate a avut o ușoară scădere, dar este apropiată de valoarea din luna februarie și comparabilă cu mediile lunilor anterioare. Valorile zilnice ale activității beta globale măsurate se mențin însă la un nivel scăzut, aflat în general sub limita de detecție a aparaturii.

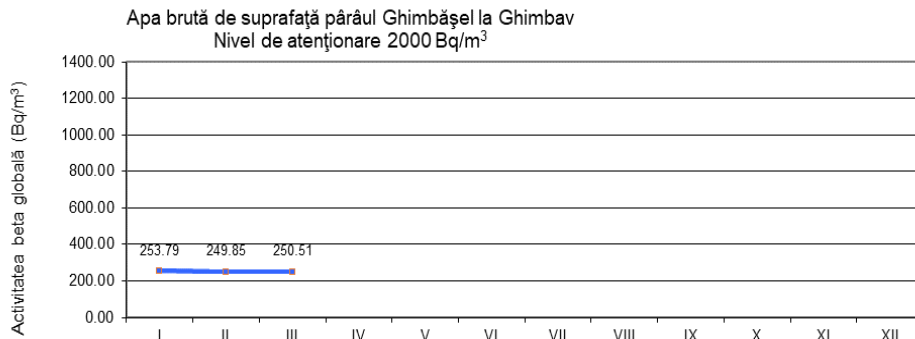


Fig. 1.3.5. Activitatea beta globală imediată pentru apă de suprafață Pârâul Ghimbășel

**Proba de apă brută de suprafață din Pârâul Rotbășel** - la Rotbav se preleveză lunar. Valoarea activității beta globale măsurată în luna martie este mai mică decât valoarea lunii februarie și comparabilă cu cele din lunile anterioare.

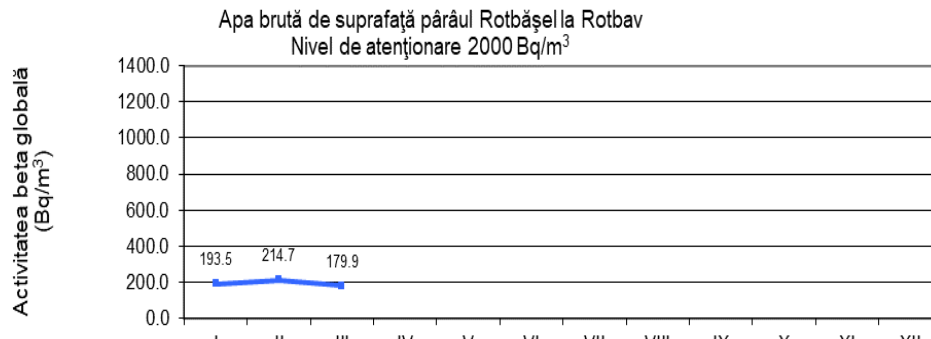


Fig. 1.3.6. Activitatea beta globală la 5 zile pentru apă de suprafață-Pârâul Rotbășel

Apa de suprafață din **Râul Olt** se preleveză lunar în mai multe puncte de pe traseul acestuia prin județul Brașov. În luna ianuarie s-au recoltat probe de la Feldioara, Măieruș și Făgăraș. Valorile activității beta globale măsurate sunt apropiate de valorile din luna precedentă și comparabile cu cele din lunile anterioare.

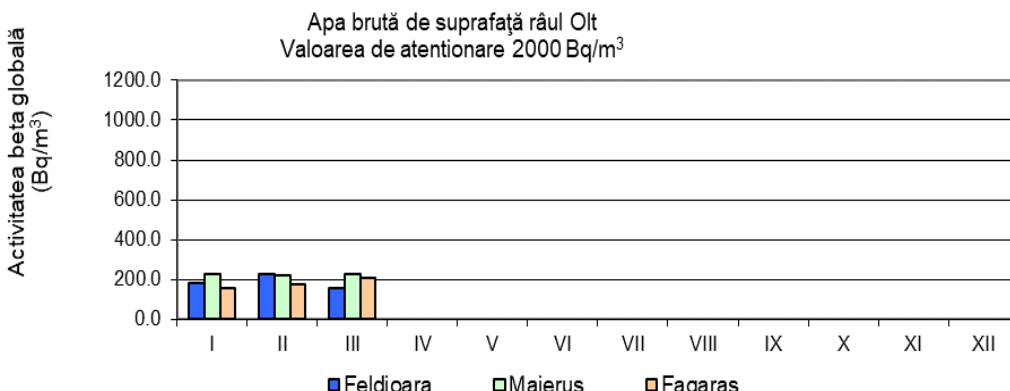


Fig. 1.3.7. Activitatea beta globală la 5 zile pentru apa de suprafață Râul Olt

**Proba de apă brută de adâncime** se preleveză lunar dintr-o fântână particulară la Rotbav. Valoarea activității beta globală a probei măsurate în luna martie este apropiată de media multianuală, aflându-se sub nivelul de notificare stabilit.

**Solul necultivat.** Solul se preleveză săptămânal de pe un areal situat la baza muntelui Tâmpe, în apropierea sediului APM Brașov. În luna martie s-au prelevat doar două probe din cauza stratului de zăpadă care acoperea solul, iar valoarea medie a activității este mai mare decât media lunii februarie și decât cea multianuală.

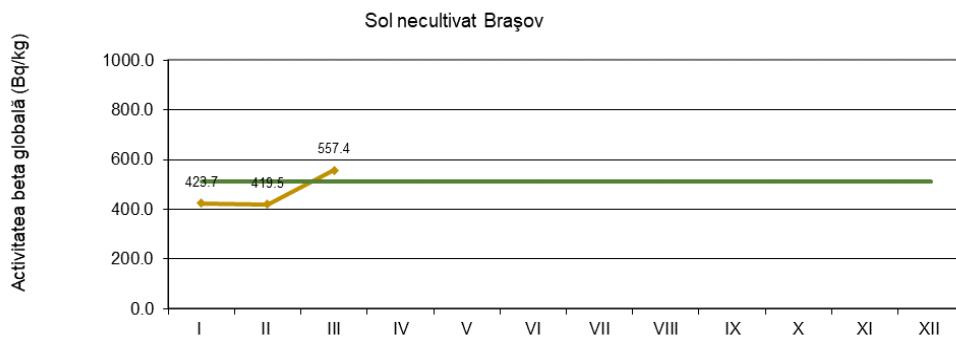


Fig. 1.3.8. Activitatea beta globală la 5 zile pentru sol necultivat

**Vegetația spontană.** Se recoltează între 01 aprilie și 31 octombrie din aceeași zonă ca și solul necultivat.

**Rezultatele măsurătorilor beta globale** efectuate în programul standard sunt prezentate în tabelul următor.

Tabel 1.3.1: Rezultatele măsurărilor efectuate în programul standard de monitorizare

<b>STAȚIA DE SUPRAVEGHERE A RADIOACTIVITĂȚII MEDIULUI BRASOV - PROGRAM STANDARD</b>					
<b>Luna martie, anul 2021</b>					
<b>Aerosoli atmosferici</b>					
	<b>Minima</b>	<b>Media</b>	<b>Maxima</b>	<b>Data max.</b>	<b>nr val.semnif.</b>
<b>Valori imediate - Activitatea specifică, Bq/mc</b>					
aspiratia 3-8	0.32	1.59	4.01	08.03.2021	31
aspiratia 9-14	0.29	1.08	3.41	04.03.2021	31
<b>Valori după 5 zile - Activitatea specifică, mBq/mc</b>					
aspiratia 3-8	6.0	6.4	6.7	01.03.2021	3
aspiratia 9-14	-	5.4	-	-	1
<b>Radon, mBq/mc</b>					
aspiratia 3-8	1283.3	4766.4	11880.4	08.03.2021	30
aspiratia 9-14	861.0	3105.9	10319.8	04.03.2021	29

<b>Toron, mBq/mc</b>					
aspiratia 3-8	28.4	113.3	294.6	13.03.2021	30
aspiratia 9-14	13.0	81.4	269.5	05.03.2021	29
<b>Depunerি atmosferice - Activitatea specifică, Bq/mp<sup>2</sup>-zi</b>					
	<b>Minima</b>	<b>Media</b>	<b>Maxima</b>	<b>Data max.</b>	<b>nr val.semnif.</b>
Valori imediate	<0.77	<1.63	6.59	17.03.2021	19
Valori după 5 zile	0.50	0.72	1.50	10.03.2021	12
<b>Apa brută de suprafață – Activitate specifică, Bq/m<sup>3</sup></b>					
Locul prelevării: GHIMBAV, Pârâu Ghimbășel; frecvența de prelevare: zilnic					
	<b>Minima</b>	<b>Media</b>	<b>Maxima</b>	<b>Data max.</b>	<b>nr val.semnif.</b>
Valori imediate	<243.4	<250.5	274.6	25.03.2021	2
Valori după 5 zile	-	168.0	-	-	1
<b>Debitul dozei gama în aer,</b>					
	<b>Minima</b>	<b>Media</b>	<b>Maxima</b>	<b>Data max.</b>	<b>nr val.semnif.</b>
microSv/h					-
<b>Sol necultivat – Activitate specifică, Bq/kg</b>					
Locul prelevării: Platformă la baza Tâmpei BRAȘOV; frecvența de prelevare: săptămânal					
	<b>Minima</b>	<b>Media</b>	<b>Maxima</b>	<b>Data max.</b>	<b>nr val.semnif.</b>
Valori după 5 zile	468.1	557.4	646.6	05.03.2021	2

În programul special de monitorizare a zonelor cu fondul natural posibil modificat antropic, se urmăresc lunar apele de suprafață și freatică din zona **Feldioara - Rotbav**. În luna ianuarie s-au prelevat probe din Olt la Feldioara, Măieruș, Făgăraș, Pârâul Rotbășel și apă din pâンza freatică - fântână din localitatea Rotbav.

Tabel 1.3.2: Rezultatele măsurărilor efectuate în programul special de monitorizare

<b>STAȚIA DE SUPRAVEGHERE A RADIOACTIVITĂȚII MEDIULUI BRAȘOV PROGRAM SPECIAL</b>					
<b>Luna martie, anul 2021</b>					
<b>Apă brută – Activitate specifică, Bq/m<sup>3</sup> (probe lunare)</b>					
Data prelevării					
Tip de probă	Apă de suprafață			Apă freatică	
	<b>Râul OLT</b>			<b>P. Rotbășel</b>	<b>Fântâna</b>
Loc prelevare	<b>Feldioara</b>	<b>Măieruș</b>	<b>Făgăraș</b>	<b>Rotbav</b>	<b>Rotbav</b>
Valori +5 zile	<155.1	229.6	207.2	179.9	825.2

*Întocmit: Dorin Pruteanu*

## 2. Deșeuri

Cantitățile de deșeuri generate în luna martie de agenții economici aflați în evidență APM Brașov sunt prezentate în tabelul următor:

Tabel 2.1: Cantitățile de deșeuri generate în luna martie de agenții economici aflați în evidență APM Brașov

<b>Denumire deșeu</b>	<b>Total cantitate (tone)</b>	<b>Agent economic</b>
Lemn	2645,40	WIW PROD RO; KRONOSPAN ROMANIA; INA SCHAEFFLER ROMANIA SRL; HUTCHINSON; QUIN ROMANIA SRL; LOSAN ROMANIA SRL
Metalice feroase	4651,00	INA SCHAEFFLER ROMANIA SRL; IUS, STABILUS; SC PREMIUM AEROTEC SRL; DEXION STORAGE SOLUTIONS SRL; RUMAGOL SRL; DEFI GROUP ROMANIA SRL; HUTCHINSON SRL
Metalice neferoase	303,80	ARMATURENFABRIK FRANZ SCHNEIDER SRL; PREMIUM AEROTEC SRL, INA SCHAEFFLER ROMANIA; ISOPLUS SPECIAL SRL;

Denumire deșeu	Total cantitate (tone)	Agent economic
Textile	101,90	ROULEAU GUICHARD ROUMANIE; TEXTILE BLUE WASH SRL; AMANN ROMANIA; HARD GYM SRL; CURZONIA SRL
Hârtie și carton	4312,30	SELGROS, ALTIUS, LIDL DISCOUNT SRL; STABILUS; ECOPAPER; ECOPACK; EDS ROMANIA SRL; SC ARABESQUE SRL; INA SCHAEFFLER ROMANIA; QUIN ROMANIA SRL
Ulei uzat	54,8	SC SILNEF MG SRL; TIRIAC AUTO SRL; SC MARCOS AUTO DETAILING; RENACIA SRL; SC DIP MOTORS SRL; SC DUVENBECK LOGISTIK SRL; SC AUTOKOV SRL
Ulei alimentar	5,24	DORIPESCO PROD, ADRIAN RESTAURANTE SRL, POIANA RASNOAVEI SRL; SC AUCHAN ROMANIA SRL
Sticla	127,20	URSUS BREWERIES SA; ALTIUS SRL, LUSTIC INVEST SRL ; SC SERGIANA PRODIMPEX SRL
Material plastic	672,30	STAR EAST PET SRL; SC LIDL SRL; ARTIMA SA; SC LEFRUMARIN SRL; SERGIANA PRODIMPEX SRL; SC SELGROS SRL; INA SCHAEFFLER ROMANIA
Cauciuc	280,00	SC SILNEF MG SRL; SC FENEC RUBBER EASTERN SRL; INA SCHAEFFLER ROMANIA, SC AUTOKOV SRL
Zgură și cenșă	54,00	KRONOSPAN; INA SCHAEFFLER ROMANIA SRL
Nămol industrial	491,40	AMANN ROMANIA SRL; ECOPACK SRL; KRONOSPAN ROMANIA SRL; STABILUS ROMANIA SRL; URUS BREWERIES SA
Nămol stații epurare orășenești	1105,40	MORANI IMPEX, STATIA DE EPURARE Comp.Apa Brasov
Acumulatori uzați	46,40	SPRINTER 2000; SERBAN SRL; SILNEF MG
Dejecții animaliere	1710,90	AVICOLA BUCURESTI; LUCA SRL; SERGIANA PRODIMPEX SRL; AVICOLA BRASOV; LEFRUMARIN SRL; SC H&E REINERT SRL; SC TAVERNA SASULUI SRL;
Deșeuri periculoase	711,00	SC KRONOSPAN ROMANIA SRL; STABILUS ROMANIA SRL; SC QUIN ROMANIA SRL; SC EDS ROMANIA SRL; SRL; INA SCHAEFFLER ROMANIA
DEEE-uri	67,80	SC BRICOSTORE ROMANIA; SC BAUMAX ROMANIA SRL
Deșeuri spitalicești	77,80	SC STERICYCLE ROMANIA SRL, AKSD Romania Tg.Mures

*Intocmit: Biroul CFM*

Având în vedere cele menționate anterior, se poate concluziona că activitățile antropice desfășurate în domeniile agricultură, industrie, energie și transport exercită presiuni asupra mediului, dar un impact semnificativ au industria și transporturile. Astfel, politicile de dezvoltare în aceste domenii trebuie fundamentate pe principiul dezvoltării durabile, să ia în considerare potențialele efecte asupra mediului înconjurător, prin includerea protecției mediului în politicile sectoriale. Atingerea acestui obiectiv presupune introducerea unor standarde de mediu ridicate și respectarea unor principii importante, precum: „poluatorul plătește”, „răspunderea poluatorului pentru paguba produsă”, combaterea poluării la sursă și împărțirea responsabilităților între operatorii economici și actorii locali – la nivel local, regional și național.

**Director Executiv,**  
Ciprian BĂNCILĂ

**Şef Serviciu Monitorizare și Laboratoare:**  
Ioana –Cristina BENGA